



طراحی یک مدل تولید کارگاهی سبز، با ایجاد توازن بین زمان تکمیل و مصرف انرژی (مورد مطالعه: شرکت پدیده ماشین سازی غرب)

مریم رحیمی آلوقره

کارشناسی ارشد مدیریت صنعتی، گرایش مدیریت تولید و عملیات، موسسه غیر انتفاعی امین، فولادشهر، اصفهان، ایران.

سید محمد رضا داودی (نویسنده مسؤول)

استادیار مدیریت، واحد دهاقان، دانشگاه آزاد اسلامی، دهاقان، ایران.

Email:smrdavoodi@ut.ac.ir

تاریخ دریافت: ۹۹/۰۱/۲۸ * تاریخ پذیرش ۹۹/۰۸/۱۷

چکیده

امروزه مدیریت محیطی با تاکید بر حفاظت از محیط زیست به یکی از مهم ترین مسائل دولت ها تبدیل شده و فشارهای جهانی، سازمان ها را ملزم به تولید محصولات و خدمات سازگار با محیط زیست کرده است. این چالش منجر به ایجاد مفهوم جدیدی به نام مدیریت زنجیره تامین سبز در حوزه کسب و کار شده که مورد توجه دولت ها و نهادهای مرتبط با محیط زیست قرار گرفته است. مدل ریاضی بکار گرفته شده در این تحقیق، برنامه ریزی عدد صحیح مختلط بوده و روش تحقیق از نوع توصیفی - تحلیلی و بر حسب هدف کاربردی است. هدف نهایی اجرای این مدل به حداقل رساندن زمان سیکل آخرین شغل بر آخرين دستگاه، كمينه سازی مجموع ديرکرد و زود كرد كارها و مصرف انرژي کل در واحد تولید می باشد. داده های مورد نیاز از طریق اطلاعات موجود در شرکت پدیده ماشین سازی غرب و مصاحبه ساختار یافته با روش تحلیل کمی گردآوری و سپس در نرم افزار متلب پیاده سازی شدند. تعداد ۳۰ مسئله با ابعاد مختلف و براساس شیوه های رایج تولید و با الگوریتم فراتکاری چنددهده (NSGA-II) و الگوریتم تکاملی چنددهدهی بهینه سازی از دحام ذرات (MOPSO) مورد ارزیابی قرار گرفت. از سه معیار مقایسه MS، SNS و MID در کنار معیار زمان حل برای مقایسات حالات مختلف الگوریتم ها بهره گرفته شد. در نظر گرفتن ملاحظات پایداری در مسئله زمان بندی تولید و ساخت با کمینه کردن مصرف انرژی به عنوان یک معیار در برنامه ریزی کارگاهی در این پژوهش مورد توجه قرار گرفته است. این امر علاوه بر مزایای اقتصادی با کاهش انتشار کربن، به محیط زیست کمک شایانی می نماید. نتایج حاصل از مقایسه دو الگوریتم با استفاده از دو روش تحلیل سلسه مرتبی و تاپسیس نشان داد خروجی حاصل از مقایسه الگوریتم NSGA-II نسبت به الگوریتم MOPSO، برای این مسائل عملکرد بهتری دارد.

کلمات کلیدی: زمان بندی سبز، زنجیره تامین، تولید، انرژی، پایداری.

۱- مقدمه

گذار از دوره‌های مختلف محصول‌گرایی و بازارگرایی و ظهور عصر فراصنعتی که در آن دانش و اطلاعات محور اصلی حرکت می‌باشد، شرکتها و سازمان‌ها را با چالش‌ها و مشکلات جدیدی مواجه ساخته است. در محیط پویا و رقابتی عصر حاضر، سازمان‌هایی موفق می‌شوند که قادر به توسعه‌ی راهبردهای رقابتی زنجیره‌ی تأمین باشند (Ghorbanpoor et al., 2017). در حالت کلی زنجیره‌ی تأمین از دو یا چند سازمان تشکیل می‌شود که رسماً از یکدیگر جدا هستند و به وسیله‌ی جریان‌های مواد، اطلاعات و جریان‌های مالی به یکدیگر مربوط می‌شوند. در دهه ۹۰ میلادی مدیران صنایع دریافتند که برای ادامه حضور در بازار تنها بهبود فرآیندهای داخلی و انعطاف پذیری در توانایی های شرکت کافی نیست، بلکه تأمین کنندگان قطعات و مواد نیز باید موادی با بهترین کیفیت و کم ترین هزینه تولید کنند و توزیع کنندگان محصولات نیز باید ارتباط نزدیکی با سیاست‌های توسعه بازار تولید کننده داشته باشند. با چنین نگرشی، رویکردهای زنجیره تأمین و مدیریت آن پا به عرصه وجود نهاد (Ghasemi Sahebi, 2013). امروزه زنجیره تأمین به عاملی مهم و حیاتی در بازار تبدیل شده است، و در عرصه جهانی رقابت اصلی در بین زنجیره‌های تأمین صورت می‌گیرد (Azar & Hashemi, 2016).

در سال‌های اخیر، آلودگی‌های زیست محیطی به یک مسئله چالش برانگیز برای سازمان‌های تجاری تبدیل شده و منجر به افزایش تقاضای مشتریان و جوامع زیست محیطی برای محصولات سازگار با محیط زیست شده است. علاوه بر این، به منظور انتساب با مقررات محیطی، شرکت‌ها باید راهبردهایی را جهت کاهش تأثیرات محصولات خود بر محیط زیست اتخاذ کنند. بنابراین چالش تجاری مهم در قرن حاضر، یکپارچه سازی عملکردهای محیطی، اقتصادی و اجتماعی در دستیابی به توسعه پایدار می‌باشد (Ismailpour, Azar, and Malekzadeh, 2017).

در محیط پیچیده، پویای امروزی، شرکتها نیازمند طراحی و اتخاذ راهبردهایی در زنجیره تأمین خود هستند که بتوانند آنها را در بهبود روزافزون عملکردشان یاری رسانند (Rezaee Kelidbari, Goudarzvand Chegini, and Alavi Foumani, 2014: 67). به نظر می‌رسد مدیریت زنجیره تأمین به یک عامل سیستماتیک که شامل هماهنگی جریان منابع در شبکه تأمین کنندگان، تسهیلات تولیدی، مراکز توزیع و مشتریان تبدیل شده است (Ali Nejad, 2015:52). این در حالی است که پیاده سازی رویکردهای مدیریت زنجیره تأمین منجر به دستیابی بهتر به اهداف سازمانی از قبیل: افزایش رقابت، بهبود خدمات به مشتریان و افزایش سود آوری می‌گردد (Jamali, & Karimi Asl, 2018).

مدیریت زنجیره تأمین سبز، یکپارچه کننده مدیریت زنجیره تأمین با الزامات زیست محیطی در مراحل طراحی محصول، انتخاب و تأمین مواد اولیه، تولید و ساخت، فرآیندهای توزیع و انتقال، تحويل به مشتری و مدیریت بازیافت و مصرف مجدد به منظور بیشینه کردن میزان بهره وری مصرف انرژی و منابع همراه با بهبود عملکرد کل زنجیره تأمین است (Olfat et al., 2015: 125).

مدیریت محیطی، تلاشی برای حداقل سازی تأثیرات منفی محیطی محصولات شرکت در سراسر چرخه عمر محصول می‌باشد. این اقدام به دلیل فشارهای سازمانی ضروری به نظر می‌رسد و موجب افزایش کارایی منابع استفاده شده در مدیریت محیطی می‌شود (Wu, Ding, & Chen, 2012:625).

ازجمله فرضیات کلاسیک مسائل زمانبندی می‌توان به این موارد اشاره کرد که کارها مستقل از هم هستند و هیچ روابط پیش‌نیازی بین آنها وجود ندارد. همه کارها در زمان صفر در دسترس هستند. یک کار در یک زمان تنها در یک ایستگاه کاری می‌تواند باشد در نتیجه حداکثر می‌توان یک عملیات روی آن انجام شود. زمان پردازش عملیات‌های یک کار مشخص است. از سوی دیگر ماشین موجود در هر ایستگاه کاری همیشه در دسترس هستند و هیچ خرایی اتفاق نمی‌افتد. یک ماشین تنها قابلیت پردازش یک کار در یک زمان را دارد. در نتیجه یک ماشین نمی‌تواند چند کار را همزمان پردازش کند. زمان آماده سازی و همچنین زمان حمل و نقل بین ایستگاه‌های کاری ناچیز است و می‌توان از آنها صرفنظر کرد. یکی از فرضیاتی که در مسائل زمانبندی معمولاً در نظر گرفته می‌شود مشخص و ثابت بودن زمان پردازش عملیات‌های هر کار است. این ضعف به طور کلی

در ادبیات مسائل زمانبندی وجود دارد (Lee, Liao and Chung, 2014: 133). بعضی شرکت‌ها کوشش می‌کنند تا کنترل زنجیره تأمین خود را با استفاده از مالکیت و یکپارچگی تمام اجزای مختلف در امتداد زنجیره تأمین از تهیه مواد و خدمات تا تحويل محصول نهایی به مشتری به دست آورند. با توجه به مسائل و چالش‌های مطرح شده رهیافت تحقیق حاضر با استفاده از یک مدل سازی برنامه‌ریزی عدد صحیح مختلط برای مسئله برنامه‌ریزی تولید کارگاهی دو ماشینه، موازنی بین زمان تکمیل و مصرف انرژی است. در تحقیق حاضر تلاش بر آن است مسئله زمانبندی سبز در تولید کارگاهی دو ماشینه در شرکت پدیده ماشینسازی غرب مورد بررسی قرار گرفته و پیشنهادات کاپردی لازم برای صنایع ارائه گردد.

جهانی شدن و افزایش رقابت در بازار، شرکت‌ها را به سوی زنجیره تأمینی سوق داده که به نیازهای مشتری پاسخ دهد؛ شرکت‌ها برای اینکه از دایره رقابت خارج نشوند، باید در کنار بهبود مستمر خدمت‌رسانی به مشتری‌ها، به صورت یکپارچه و هماهنگ عمل کنند (Beheshtinia & Akbari, 2015: 142). افزایش نگرانی‌ها در رابطه با نگرانی‌های محیطی و تلاش برای کاهش هر چه بیشتر آلاینده‌های زیست‌محیطی موجب ظهور مفاهیم جدید نظری مدیریت زنجیره تأمین سبز، بهره‌وری سبز و تولید پاک‌تر شده است. از آنجایی که اثرات نامطلوب محیطی در همه مراحل چرخه عمر محصول اتفاق می‌افتد و مدیریت آن تنها به داخل مرزهای سازمان محدود نمی‌شود؛ باید دیدگاه مدیریت زنجیره تأمین سبز به عنوان دیدگاهی جامع مورد توجه قرار گیرد. مدیریت زنجیره تأمین سبز، یکپارچه کننده مدیریت با الزامات زیست‌محیطی در تمام مراحل، انتخاب و تأمین مواد اولیه، تولید و ساخت، فرآیندهای توزیع و انتقال، تحويل به مشتری و بالأخره پس از مصرف، مدیریت بازیافت و مصرف مجدد برای بیشینه کردن میزان بهره‌وری مصرف انرژی و منابع همراه با بهبود عملکرد کل زنجیره تأمین است (Ghorbanpoor et al., 2017: 2). یکی از مسائلی که کارخانجات با آن برخورد می‌کنند، مسئله زمانبندی سیستم کارگاهی است. زمانبندی از اولویت زیادی در حوزه‌های مدیریت تولید، مهندسی و مسائل بهینه‌سازی ترکیبیاتی برخوردار است و ارائه یا توسعه تکنیک‌هایی جهت حل آن می‌تواند بسیار پر اهمیت باشد؛ لذا بسیاری از محققین سعی نموده‌اند تا با ارائه روش‌هایی جهت زمانبندی بهتر، به شکل مناسب‌تری به سفارشات مشتریان پاسخ‌گو باشند و ضمن تأمین بهتر مواد و قطعات مورد نیاز از ائتلاف زمان، سرمایه و نیروی انسانی نیز جلوگیری نمایند (Fattahi, Samouei, & Zandiyeh, 2016). زنجیره تأمین شامل فعالیت‌های مرتبط با جریان مواد و اطلاعات از تأمین کنندگان مواد اولیه تا تحويل محصول به مشتری نهایی است و بر بهبود خدمت‌رسانی به مشتری، سودآوری و عملکرد سازمان تمرکز دارد (Vinodh et al., 2011: 273). کمیابی منابع و انرژی مورد استفاده در آینده بسیار مورد توجه خواهد بود. برای حفظ منابع، به حداقل رساندن بازیابی مواد، استفاده مجدد بازیافت و نیز به حداقل رساندن زباله‌ها و پاسخ‌گویی و آمادگی برای چالش‌های فنی و عملی تولید پایدار، نیازمند راه حل‌های اقتصادی و منابع کارآمد بدیع می‌باشد. تولید کنندگان فشار آگاهی عمومی از پایداری، افزایش هزینه‌های انرژی و نگرانی‌های ناشی از امنیت انرژی رو به رشد را حس می‌کنند. از این رو تحقیقات جدیدی برای کاهش مصرف انرژی بدون به خطر افتادن سطوح خدمات توسعه می‌یابد (Mansouri, Aktas, & Besikci, 2016: 1). امروزه توسعه پایدار، پیشرفت‌های قابل توجهی در پایداری زیست‌محیطی زنجیره تأمین به عملکرد زنجیره تأمین منجر به صرفه جویی در منابع انرژی، کاهش آلاینده‌ها، حذف یا کاهش ضایعات، ایجاد ارزش برای مشتریان و ارتقای بهره‌وری برای شرکت‌ها خواهد شد. در سال‌های اخیر بروز مسائلی همچون افزایش آلودگی هوا، پیشرفت تکنولوژی، افزایش استفاده از انواع سوخت‌ها و غیره، لزوم بکارگیری مدیریت زنجیره تأمین را آشکار ساخته است، چرا که مدیریت زنجیره تأمین شامل کلیه مراحل عمر یک محصول از طراحی تا بازیافت است که می‌تواند در جهت ارتقای عملکرد و ارائه خدمات به مشتریان موثر واقع گردد. فعالیت‌های اقتصادی به گونه‌ای است که بطور بالقوه محیط را آلوده می‌سازد و در صورتی که به پیامدهای ناشی از آن توجه نگردد، خسارات و هدر رفت ایجاد می‌نماید. افزایش نگرانی‌های زیست‌محیطی تولید کنندگان را ملزم به اجرای فرایند زنجیره تأمین و زمانبندی سبز می‌کند. با پیشرفت اقتصاد و صنایع زنجیره تأمین بازار عرضه محور به بازار تقاضا محور تغییر یافته است و سازمان‌ها برای بقای خود ملزم به پاسخ‌گویی به نیاز مشتریان می‌باشند (Alam Tabriz, Modarressi, and Arab, 2017).

در واقع حرکت به سمت مدیریت زنجیره تأمین سبز و در نتیجه زمان بندی سبز، باعث افزایش کیفیت زیست محیطی در سطح محلی و جهانی می‌گردد؛ به نحوی که موجب افزایش سودآوری تجاری شده و همزمان به سه موضوع اصلی محیط، کیفیت ارائه محصول و سودآوری اقتصادی توجه می‌نماید. بنابراین کاهش هزینه‌های معمول زنجیره تأمین باعث افزایش کیفیت و برآورده ساختن نیازهای مشتریان می‌گردد. از طریق جلب رضایت مشتری از منظر زیست محیطی در زنجیره تأمین، مدیران سعی دارند تا با بهره‌گیری از لجستیک سبز و بهبود الزامات زیست محیطی خود در زنجیره تأمین به عنوان یک استراتژی مهم زمینه را جهت نائل شدن به موفقیت در رقابت فراهم آورند. مدیریت زنجیره تأمین و زمان بندی تولید در بردارنده منافعی از جمله صرفه‌جویی در منابع، کاهش آلاینده‌ها، حذف یا کاهش هدر رفت، رضایتمندی مشتری و افزایش بهره‌وری برای سازمان‌ها می‌باشد. ادغام الزامات زیست محیطی و مدیریت زنجیره تأمین، موجب افزایش کیفیت و عملکرد سازمان‌ها می‌گردد. زنجیره تأمین سبز و زمان بندی تولید تلاشی جهت کاهش اثرات منفی در زنجیره تأمین می‌باشد و موجب افزایش کارایی منابع و اثربخشی می‌گردد.

در این قسمت از مقاله به بررسی پیشینه تحقیق در این حوزه می‌پردازیم. مسائل برنامه‌ریزی عدد صحیح در دنیای واقعی اغلب با دشواری و پیچیدگی محاسباتی مواجه هستند، بنابراین محققان اغلب از روش‌های ابتکاری برای غلبه بر این پیچیدگی استفاده می‌کنند. به همین علت در پیشینه تحقیق روش‌های ابتکاری متعددی که هریک مختص مسئله‌ای خاص هستند، وجود دارد.

جدول شماره (۱): پیشینه تحقیق

نویسنده‌گان	روش تحقیق	نتایج تحقیق
حسنی و همکاران ^(۲۰۱۷)	در این مطالعه تلاش شده است تا یک مدل برنامه ریزی خطی مختلط برای مکان / تخصیص تسهیلات یک شبکه زنجیره تأمین سبز بسته کردن در محیط زیست در سراسر شبکه مورد چند حلقه ای مشکل از مراکز تولید / بازسازی و مراکز بازاری / توجه قرار گرفته و نتایج نشان داد که این مدل قادر به کنترل عدم قطعیت شبکه می‌باشد.	اهداف زیست محیطی کاهش انتشار دی اکسید ازیزی و همچنین مراکز تخلیه و بازارها بررسی شود.
مانزینی ^۱ و همکاران ^(۲۰۱۵)	مدل برنامه ریزی خطی عدد صحیح مختلط متشکل از دوتابع هدف شامل کمینه کردن هزینه‌های شبکه برای شناسایی مکان‌های بهینه در ایجاد کارخانه‌های تولیدی، مراکز توزیع و جمع آوری و بازیافت و هدف دیگر به حداقل رساندن میزان کربن تولید شده برای برآوردن تقاضای شیوه حلقه بسته چند سطحی ارائه دادند.	ازیزی این صرفه جویی بالقوه اقتصادی، زیست محیطی و چرخه عمر محصول برای طراحی استراتژیک مشتری مطابق با محدودیت ظرفیت می‌باشد.
دیابت ^۲ و همکاران ^(۲۰۱۳)	در مبحث زنجیره تأمین سبز، آلایندگی مواد اولیه‌ای بر اساس میزان انتشار کربن ناشی از فرآیند تأمین مواد خام و ناشی از حمل و نقل مواد اولیه و انتقال آن‌ها به سایت تولیدی مورد محاسبه قرار گرفت.	اثر قیمت‌های مختلف کربن بر هزینه‌ها و پیکره بندی زنجیره تأمین مواد خام و ناشی از حمل و نقل مواد اولیه و انتقال آن‌ها به سایت تولیدی مورد محاسبه قرار گرفت.
آذر و همکاران ^(۱۳۹۵)	یک مدل برنامه ریزی عدد صحیح مختلط غیرخطی برای بازپرسازی سفارشات و الگوریتم ابتکاری جهت حل آن در ارتباط با ارزیابی عملکرد زنجیره تأمین سبز تدوین و سپس پرسشنامه مقایسه‌های زوجی، وزن معیارها و زیرمعیارها به روش مدلسازی غیرخطی محاسبه شد.	این ارزیابی نشان داد که پتروشیمی‌های عسلویه از نظر معیار سبز، هزینه و مشتری نسبت به معیارهای انعطاف‌پذیری و مالی در وضعیت نامناسبی قرار دارند.
اسمعیل‌پور و همکاران ^(۱۳۹۶)	در تحقیق خود با عنوان "ارایه مدل تلفیقی انتخاب شریک تجاری سبز و مدیریت زنجیره تأمین سبز" به ارایه مدل تلفیقی انتخاب شریک تجاری سبز و مدل انتخاب شریک تأمین سبز پس از استخراج معیارها از اطلاعات بدست آمده از پژوهش تعیین تفسیری پرداختند.	ابعاد و شاخص‌های انتخاب شریک تجاری سبز و مدیریت زنجیره تأمین سبز به ارایه مدل تلفیقی انتخاب شریک تجاری سبز و مدل انتخاب شریک تأمین سبز با استفاده از تکنیک ساختاری گردید.

¹ Manzini & et al² Diabat & et al

<p>اعتزازیان^۳ و همکاران^(۱۳۹۴) در این تحقیق به بررسی موانع تکنولوژیکی در مسیر پیاده سازی پژوهش مورد بررسی قرار گرفت، عامل عدم تخصص فنی و طراحی جایگزین برای محصولات مطابق با الزامات زیست محیطی به عنوان مهم‌ترین عامل در صنعت پالایش نفت شهر اصفهان معروفی شد.</p>	<p>در این تحقیق به بررسی موانع تکنولوژیکی در مسیر پیاده سازی صنعت پالایشپرداخته شد. ماهیت پژوهش میدانی و کتابخانه‌ای بوده و پس از تکمیل پرسشنامه‌ها اولویت‌بندی و رتبه‌بندی با فرایند تحلیل شبکه^۳ تعیین گردید.</p>
<p>نتایج نشان داد که این مدل پایه‌ای را برای تصمیم‌گیری بهمود عملکرد زنجیره تأمین سبز براساس مدل IEEE^۴، برای ارزیابی عملکرد زنجیره تأمین سبز از سیتسیم ارزیابی خاکستری برای ارزیابی چهار شرکت الکترونیکی استفاده کرد. پنج دسته از معیارها را شناسایی و به وسیله فرایند تحلیل سلسه مراتبی وزن دهنده کرد.</p>	<p>چن^۵ (۲۰۰۹) طی پژوهش خود تحت عنوان «ارزیابی عملکرد زنجیره تأمین سبز براساس مدل IEEE^۴، برای ارزیابی عملکرد زنجیره تأمین سبز از سیتسیم ارزیابی خاکستری برای ارزیابی چهار شرکت الکترونیکی استفاده کرد. پنج دسته از معیارها را شناسایی و به وسیله فرایند تحلیل سلسه مراتبی وزن دهنده کرد.</p>
<p>یکپارچه سازی تصمیمات پیشنهادی در رابطه قیمت‌گذاری با برنامه‌ریزی تولید و سفارشات به منظور افزایش سود تأمین کننده و افزایش سطح خدمتدهی.</p>	<p>چن^۶ و چن^۷ (۲۰۱۱) در مطالعه خود با عنوان «تصمیم‌گیری قیمت‌گذاری مبتنی بر وعده داده شده توسط برنامه‌ریزی فازی و الگوریتم ژنتیک»، برنامه‌ریزی تولید از طریق برنامه‌ریزی عدد صحیح مختلط با محدودیت‌های فازی فرموله نمودند.</p>
<p>به دلیل عدم اطمینان به رویدادهای آینده، برای حل مسئله‌ی ریسک‌های عملیاتی در مدیریت متدالو عملکرد ارزش-محور در میزان فروش‌های میان‌مدت و برنامه-زیزی عملیات به کار برده شد.</p>	<p>هان و کان^۸ (۲۰۱۲) در تحقیقی تحت عنوان «عملکرد مبتنی بر ارزش و مدیریت ریسک در زنجیره‌های عرضه» ارزش افزوده اقتصادی^۷ به عنوان ابزار سنجش متدالو عملکرد ارزش-محور در میزان فروش‌های میان‌مدت و برنامه-زیزی عملیات به کار برده شد.</p>
<p>هنگامی که عوامل زنجیره تأمین جایگزین‌های محدودی دارند، جریان دانش افزایش یافته و رابطه مثبتی بین کسب دانش و عملکرد زنجیره تأمین ایجاد می‌گردد.</p>	<p>کایل^۹ (۲۰۱۳) طی پژوهشی به «بررسی رابطه بین قدرت، کسب دانش و عملکرد زنجیره تأمین بین شرکای زنجیره تأمین تولیدکننده اصلی فولاد چین» پرداخته و برای جمع‌آوری داده‌ها از معادلات ساختار یافته استفاده شد.</p>
<p>ابعاد ریسک اجتماعی، ریسک زیست محیطی و ریسک اقتصادی و مولفه‌های نقض اخلاق در کسب و کار، آلودگی محیط زیست و عدم تحقق تعهد اجتماعی مهم‌ترین مولفه‌های ریسک‌های پایداری در زنجیره تأمین گروه صنعتی اروند می‌باشند.</p>	<p>عالیم تبریز و همکاران^(۱۳۹۶) در پژوهش خود تحت عنوان "بررسی و تجزیه و تحلیل ریسک‌های مدیریت زنجیره تأمین پایدار برایه روش FSWARA" با هدف شناسایی و اولویت‌بندی ریسک‌های موجود در زنجیره تأمین پایدار با استفاده از روش تصمیم‌گیری چند شاخصه فازی سوارا که به عنوان یکی از نوین ترین روش‌های تصمیم‌گیری مطرح است، پرداختند.</p>
<p>معیارهای تعداد کارکنان مشغول به کار در صنعت پایدار در صنعت فولاد^{۱۰} معیارهای زنجیره تأمین سبز تأمین کننده، میزان انتشار کربن دی اکسید، مسافت تا محل تامین و میزان مصرف آب به عنوان مهم ترین معیارها انتخاب شد.</p>	<p>عظیمی فرد و همکاران^(۱۳۹۶) در پژوهشی تحت عنوان "اولویت‌بندی معیارهای زنجیره تأمین سبز پایدار در صنعت فولاد" معیارهای انتخاب تأمین کننده سبز پایدار در صنعت فولاد با روش AHP انجام گردید.</p>
<p>نتایج تحقیق نشان داد که شاخص‌ها علمی با مطالعه موردی سازگار بودند و می‌توانند منجر به توسعه سطوح عملکرد زنجیره تأمین سبز شوند.</p>	<p>کالیون^{۱۱} (۲۰۱۰) در پژوهش خود با عنوان «استفاده از مدل شبکه عصبی احتمالی در ارزیابی عملکرد زنجیره تأمین برای صنایع» یک سیستم ارزیابی عملکرد با توجه به اهمیت آن در اقتصاد چین از چهار جنبه شامل مدیریت محیطی، سرمایه‌گذاری محیطی، مزایای اجتماعی، کیفیت را با استفاده از مدل شبکه طبیعی احتمالی مطرح کرد.</p>

³ ANP⁴ Chen⁵ Cheng & Cheng⁶ Hahn & kuhan⁷ EVA⁸ Qile⁹ Kailun

<p>در پژوهشی با عنوان «طراحی شبکه زنجیره تأمین یکپارچه مستقیم و معکوس سازگار با محیط‌زیست»، یک مدل برنامه‌ریزی خطی عدد صحیح مختلط دو هدفه را توسعه دادند</p> <p>غایبلو و تارخ (۱۳۹۳)</p>	<p>در انتخاب تأمین‌کنندگان، قابلیت اطمینان و بازیافت پذیری قطعات را مد نظر قرار داده و تأثیر قابلیت اطمینان و سبز بودن بر درصد قطعات بازیافتی و ضایعاتی شناسایی شد.</p>
<p>شاہبندرزاده و همکاران (۱۳۹۲)</p>	<p>در تحقیقی تحت عنوان «کاربرد فرآیند تحلیل شبکه‌ای فازی با رویکرد مدل‌سازی غیرخطی در شناسایی و رتبه‌بندی شاخص‌های مؤثر بر ارزیابی عملکرد زنجیره تأمین اثرباره‌تر است. در ادامه ریسک زنجیره تأمین اثرباره‌تر است. در ادامه به منظور تعیین عوامل مؤثر بر ریسک زنجیره تأمین از تکنیک‌های تحلیل رگرسیون چندگانه و تحلیل مسیر استفاده نمودند.</p>
<p>قمی و همکاران (۲۰۱۷)</p>	<p>در مقاله‌ی خود تحت عنوان "مسئله طراحی شبکه زنجیره تأمین حلقه بسته در شرایط ریسک تأمین" به بررسی مسئله طراحی شبکه زنجیره تأمین حلقه بسته در شرایط ریسک تأمین پرداختند. این مسئله با استفاده برنامه ریزی عدد صحیح آمیخته مدل می‌شود و همچنین از رویکرد دو مرحله‌ای احتمالی برای در نظر گرفتن عدم قطعیت در مدل پیشنهادی استفاده شد.</p>
<p>نیلی پور طباطبایی و همکاران (۱۳۹۱)</p>	<p>در پژوهشی تحت عنوان «بهینه‌سازی کاربرد فناوری اطلاعات در مدیریت زنجیره تأمین و بازاریابی محصولات هوایی به روش ای اچ پی^{۱۰}» معیارهای زنجیره تأمین و فناوری اطلاعات در این شرکت‌ها تمایل مؤثر آن‌ها بر یکدیگر شناخته شده و اولویت‌های فناوری اطلاعات بر مدیریت زنجیره تأمین تعیین شده‌اند.</p>
<p>تحقیق حاضر (۱۳۹۹)</p>	<p>در نظر گرفتن ملاحظات پایداری در مسئله زمان- مختلط بوده و روش تحقیق از نوع توصیفی- تحلیلی و بر حسب هدف کاربردی است. تعداد ۳۰ مسئله با ابعاد مختلف و براساس شیوه‌های رایج تولید و با الگوریتم فراابتکاری چندهدفه (NSGA-II) و الگوریتم تکاملی چندهدفه بهینه‌سازی ازدحام ذرات (MOPSO) مورد ارزیابی شد که خروجی حاصل از الگوریتم NSGA-II نسبت به الگوریتم MOPSO، برای این مسائل عملکرد بهتری دارد.</p>

۲- روش شناسی

پژوهش حاضر به لحاظ روش و ماهیت کار توصیفی و از نظر هدف کاربردی و از نظر زمان مقطعی و از نوع همبستگی است. جامعه آماری تحقیق شرکت پدیده ماشین‌سازی غرب می‌باشد. روش تحقیق از نوع توصیفی- تحلیلی و بر حسب هدف کاربردی است. داده‌های مورد نیاز از طریق اطلاعات موجود در شرکت پدیده ماشین‌سازی غرب و مصاحبه ساختار یافته با روش تحلیل کمی گردآوری و سپس در نرم‌افزار متلب پیاده‌سازی شدند. جهت جمع آوری اطلاعات دو روش کتابخانه‌ای و میدانی مورد استفاده قرار گرفته است. در این تحقیق برنامه‌ریزی در راستای به حداقل رساندن زمان انجام کار و مصرف انرژی کل با استفاده از مدل ریاضی مناسب صورت گرفته، سپس کلیه پارامترها وارد نرم افزار متلب شده و مدل حل می‌شود.

یک مسئله زمان‌بندی خط تولید تبدیلی دو دستگاهی با زمان‌های برابری وابسته به توالی، در جاهایی که دستگاه‌ها سرعت متغیر دارند، در نظر گرفته شده است. مدل بکار رفته نماینده واقعیتی با فرضیات و تقریب منطقی می‌باشد.

¹⁰ AHP

¹¹ IT

مسئله زمان‌بندی خط تولید کلی شامل n شغل است که باید در m دستگاه متولی با زمان فرآوری ثابت برای تمام مشاغل پردازش شوند. بدین منظور جهت تشریح و حل مسائل زمان‌بندی به سه بعد توجه می‌گردد؛ بعد اول محیط کارگاه و بعد دوم شرایط و جزئیات آن را نشان می‌دهد. در انتهای بعد سوم نیز به دنبال کمینه‌سازی توابع هدف می‌باشد (Mansouri, Aktas, & Besikci, 2016: 3) مدل بکار رفته از مقاله منصوری و همکاران (2016) استخراج گردیده و نماینده واقعیتی با فرضیات و تقریب منطقی می‌باشد. به منظور بررسی عملکرد الگوریتم پیشنهاد شده تعداد ۳۰ مسئله تولید گردید که با استفاده از الگوریتم ژنتیک رتبه‌بندی نامغلوب (NSGA-II) و الگوریتم تکاملی چندهدفه‌ی بهینه‌سازی ازدحام ذرات (MOPSO)، در نرم‌افزار متلب پیاده‌سازی شده است و عملکرد دو الگوریتم با استفاده از روش‌های تصمیم گیری چندمعیاره مقایسه شد.

معیارهای مقایسه الگوریتم‌ها عبارتند از:

- (۱) محاسبه‌ی فاصله‌ی نزدیکی بین جواب‌های نامغلوب حاصله و نقطه‌ی ایده‌آل حاصل (MID)
- (۲) محاسبه‌ی گستردگی جواب‌های جبهه‌ی پارتو بهینه‌ی حاصل از الگوریتم (MS)
- (۳) گستردگی محاسبه میزان تنوع در جواب‌های پارتو (SNS)
- (۴) زمان حل (CPU time)

(الف) مفروضات مدل

مدل پیشنهادی قابلیت استفاده برای مسائل جریان کارگاهی با m ماشین (تعداد مختلف ماشین) را دارد. هم‌چنین سیاست انجام کار به موقع نیز در مدل گنجانده شده است، به طوری که مجموع وزنی زمان‌های دیرکرد و زودکرد کارها کمینه خواهد شد. بنابراین مدل به دنبال کمینه‌سازی همزمان سه معیار (کمینه‌سازی زمان اتمام کل، کمینه‌سازی مجموع وزنی دیرکرد و زودکرد کارها و کمینه‌سازی مصرف انرژی کل) می‌باشد.

(ب) پارامترهای مدل

پارامترهای مدل در جدول شماره (۲) بیان شده است.

جدول شماره (۲) پارامترهای مدل

$i = 1, \dots, m$	اندیس ماشین آلات	I
j, k	اندیس کارها (($j, k = 1, \dots, n$))	J, K
L	اندیس سرعت پردازش	L
N	تعداد کارها	N
M	تعداد ماشین آلات	M
v_l	فاکتور سرعت پردازش (۱=پردازش به ترتیب سرعت های آهسته، متوسط و تند)	
α_l	فاکتور تبدیل برای سرعت پردازش	
φ_i	فاکتور تبدیل برای زمان بیکاری ماشین i	
M	یک عدد بسیار بزرگ	

ج) متغیرهای مدل

متغیرهای مدل در جدول (۳) اوردده شده است.

جدول شماره (۳): متغیرهای مدل

y_{jk}	اگر کار j بالا فاصله قبل از کار k برنامه ریزی دیرکرد کار j	T_j	اگر کار j بالا فاصله قبل از کار k برنامه ریزی شده باشد ۱، در غیر اینصورت
x_{ijl}	اگر کار j با سرعت l روی ماشین i پردازش شده باشد ۱، در غیر اینصورت	E_j	اگر کار j با سرعت l روی ماشین i پردازش شده باشد ۱، در غیر اینصورت
ϑ_j	اگر کار j اولین کار باشد ۱، در غیر اینصورت ۰	c_j	زمان اتمام کار j

c_{ij}	زمان اتمام کار j بر روی ماشین i	o_j	تنظیم جابجایی ^{۱۲} برای کار j بر روی ماشین دوم (برای حالی که کار j اولین کار در توالی باشد)
θ_i	زمان بیکاری ماشین i	TEC	مصرف انرژی کل بر حسب کیلو وات ساعت
C_{max}	زمان اتمام کل (تکمیل آخرین کار بر روی آخرین ماشین)		

مدل ریاضی بکار گرفته شده در این تحقیق، برنامه‌ریزی عدد صحیح مختلط می‌باشد. هدف نهایی اجرای این مدل به حداقل رساندن زمان سیکل آخرین شغل بر آخرین دستگاه، کمینه‌سازی مجموع دیرکرد و زودکرد کارها و مصرف انرژی کل در واحد تولید می‌باشد.تابع هدف C_{max} در راستای کاهش زمان انجام کار، به عنوان مقیاس سطح خدمات است و مصرف انرژی کل به عنوان یک معیار پایداری به شمار می‌آید. روابط (۱) تا (۱۶) محدودیت‌های مدل را بیان می‌کند. در ادامه هریک از توابع هدف و محدودیت‌ها تشریح شده‌اند.

(د) توابع هدف و محدودیت‌ها

$$\min C_{max}^{13}$$

کمینه‌سازی زمان اتمام کل

تابع هدف (۲):

کمینه‌سازی مجموع دیرکرد و زودکرد کارها

تابع هدف (۳):

کمینه‌سازی مصرف انرژی کل

St.

$$M(1 - \vartheta_j) + o_j \geq s_{2jj} - c_{1j} \quad \forall j \quad \text{رابطه (۱):}$$

طول زمان جابجایی

رابطه (۲):

زمان اتمام کار بر روی ماشین اول

رابطه (۳):

زمان تکمیل کارها

رابطه (۴):

$$c_{ij} \geq \frac{p_{1j}}{v_l} x_{1jl} + s_{1jj} \vartheta_j \quad \forall j, l \quad \text{رابطه (۲):}$$

$$c_{2j} \geq \frac{p_{2j}}{v_l} x_{2jl} + c_{1j} + o_j \quad \forall j, l \quad \text{رابطه (۳):}$$

$$c_{ij} \geq \frac{p_{ij}}{v_l} x_{ijl} + c_{(i-1)j} \quad \forall i = 3, \dots, m, j, l \quad \text{رابطه (۴):}$$

مشخص کردن زمان اتمام کار بر روی سایر ماشین ها

رابطه (۵):

$$M\vartheta_j + M(1 - y_{jk}) + c_{ik} \geq c_{ij} + \frac{p_{ik}}{v_l} x_{ikl} + s_{ijk} y_{jk} \quad \forall i \quad \text{تصمیم این که زمان اتمام کارهای پشت سر هم در حال افزایش می‌باشد.}$$

رابطه (۶):

$$C_{max} \geq c_{mj} \quad \forall j \quad \text{محاسبه زمان اتمام کل}$$

رابطه (۷):

$$\theta_i = c_{max} - \sum_j \sum_l \frac{p_{ij}}{v_l} x_{ijl} \quad \forall i \quad \text{رابطه (۷):}$$

¹² Setup offset

¹³ The makespan, the completion time of the last job on the last machine (C_{max})

¹⁴ Total Energy Consumption (TEC)

زمان بیکاری ماشین آلات

رابطه (۸)

صرف انرژی کل

رابطه (۹)

زمان اتمام کار j

رابطه (۱۰)

مقدار دیرکرد کار j

رابطه (۱۱)

مقدار زودکرد کار j

رابطه (۱۲)

تصمین این که تنها یک کار اول وجود دارد

رابطه (۱۳)

رعایت توالی کارها

رابطه (۱۴)

رعایت توالی کارها

رابطه (۱۵)

برای هر کار یک فاکتور سرعت انتخاب شده است

رابطه (۱۶)

$$\vartheta_j \cdot x_{ijl} \cdot y_{jk} \in \{0,1\}. \quad o_j \cdot \theta_i \cdot T_j \cdot E_j \cdot c_j \cdot C_{max} \cdot TEC$$

$$\geq 0$$

نشان دادن نوع متغیرهای استفاده شده در مدل (نوع باینری و

نامنفی بودن)

تابع هدف (۱) کمینه‌سازی زمان اتمام کل می‌باشد، تابع هدف (۲) مجموع دیرکرد و زودکرد کارها را نسبت به زمان مقرر برای انجام آن‌ها کمینه می‌نماید. در واقع سیاست just in time در مدل لحظه‌گردیده است. تابع هدف (۳) صرف انرژی کل را بر حسب کیلووات ساعت کمینه می‌نماید. محدودیت (۱) طول زمان جابجایی برای اولین کار را محاسبه می‌نماید به طوری تضمین نماید که زمان تکمیل بر روی ماشین دوم به تأخیر می‌افتد. محدودیت (۲) زمان اتمام کار ببروی ماشین اول را نشان می‌دهد. محدودیت (۳) تضمین می‌کند که زمان تکمیل کارها بر روی ماشین دوم بزرگتر یا مساوی است با زمان تکمیل کار بر روی اولین ماشین به اضافه زمان پردازش بر روی ماشین دوم. محدودیت (۴) زمان اتمام کار بر روی سایر ماشین‌ها را مشخص می‌نماید. محدودیت (۵) تضمین می‌کند که زمان اتمام کارهای پشت سر هم در حال افزایش می‌باشد (بر اساس زمان اتمام کار قبلی). محدودیت (۶) محاسبه زمان اتمام کل که باید از زمان اتمام آخرین کار بر روی آخرین ماشین بیشتر باشد. محدودیت (۷) زمان بیکاری ماشین آلات را نشان می‌دهد. محدودیت (۸) صرف انرژی کل را نشان می‌دهد (بر حسب کیلووات ساعت). محدودیت (۹) زمان اتمام کار j را نشان می‌دهد. محدودیت (۱۰) مقدار دیرکرد کار j را نشان می‌دهد. محدودیت (۱۱) مقدار زودکرد کار j را نشان می‌دهد. محدودیت (۱۲) تضمین می‌نماید که تنها یک کار اول وجود دارد. محدودیت (۱۳) و (۱۴) رعایت توالی کارها را نشان می‌دهند. محدودیت (۱۵) نشان می‌دهد که برای هر کار یک فاکتور سرعت انتخاب شده است. محدودیت (۱۶) نوع متغیرهای استفاده شده در مدل را از نوع باینری و نامنفی بودن نشان می‌دهد.

۵) توصیف شاخص‌ها

عملکرد الگوریتم‌های پیشنهادی فرابتکاری براساس شاخص‌های محاسبه‌ی فاصله‌ی نزدیکی بین جواب‌های نامغلوب حاصله و نقطه‌ی ایده‌آل حاصل^{۱۵}، محاسبه‌ی گستردگی جواب‌های جبهه‌ی پارتوبهینه‌ی حاصل از الگوریتم^{۱۶}، گستردگی محاسبه‌ی میزان تنوع در جواب‌های پارتوب^{۱۷} و همچنین زمان حل، بررسی می‌شود.

¹⁵ Mean Ideal Distance (MID)

و) توصیف متغیرها
محدوده مقادیر پارامترها به شرح جدول (۴) می‌باشد.

جدولش شماره (۴): محدوده مقادیر پارامترها			
L	۳		
a	Unif (.۰/۵, ۲)		
b	Unif (.۰/۲, .۰/۸)		
p _{ij}	Unif (۱/۹۹)		
v	.۰/۸	۱	۱/۲
μ_i	۶۰ kw Unif (۱, ۲۵), Unif (۱, ۵۰), S _{ijk} Unif (۱, ۹۹), Unif (۱, ۱۲۵)		

= شاخص‌های سرعت پردازش

p_{ij} = زمان پردازش شغل j بر ماشین i

V = فاکتور پردازش زمان (مقدار l به ترتیب برای سرعت‌های سریع، متوسط و کم = ۳، ۲، ۱)

μ_i = نیروی دستگاه i

S_{ijk} = زمان مورد انتظار برای تغییر شغل j به k بر روی ماشین i

برای تولید مقادیر زمان بیکاری^{۱۸} از روش بکار رفته در مقاله ریز و استاتزل^{۱۹} (۲۰۰۶) استفاده شده است. فرمول استفاده شده به صورت رابطه (۱۷) می‌باشد:

$$d_j = \sum_{i=1}^m P_{ij} * (1 + r * 3) \quad \text{رابطه (۱۷)}$$

r=unif(0,1)

وزن‌های کارها نیز به صورت روابط (۱۸) و (۱۹) تولید می‌شود:

$$wt_j = rand(0.1) \quad \text{رابطه (۱۸)}$$

$$wt_j = \frac{wt_j}{\sum_j wt_j} \quad \text{رابطه (۱۸)}$$

$$we_j = rand(0.1) \quad \text{رابطه (۱۹)}$$

$$we_j = \frac{we_j}{\sum_j we_j} \quad \text{رابطه (۱۹)}$$

۳- نتایج و بحث

الف) تولید مسائل

به منظور بررسی مدل و عملکرد الگوریتم پیشنهاد شده، تعداد ۳۰ مسئله با مشخصات ارائه شده زیر تولید گردید، (جدول‌های (۵) و (۶) و (۷))

^{۱۶} Max-Spread (MS)

^{۱۷} Span of Non-dominant Solution (SNS)

^{۱۸} due date

^{۱۹} ruiz and stutzle

جدول شماره (۵): مسائل با مقیاس کوچک

تعداد مسائل			
n	۷	۸	۹
m	۵	۶	۷
مسئله	۱۰		

جدول شماره (۶): مسائل با مقیاس متوسط

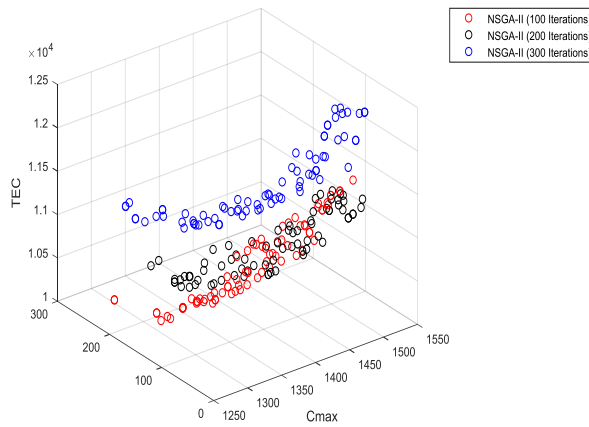
تعداد مسائل		
n	۱۵	۲۰
m	۱۰	۱۰
مسئله	۱۰	

جدول شماره (۷): مسائل با مقیاس بزرگ

تعداد مسائل		
n	۵۰	۸۰
m	۳۰	۳۰
مسئله	۱۰	

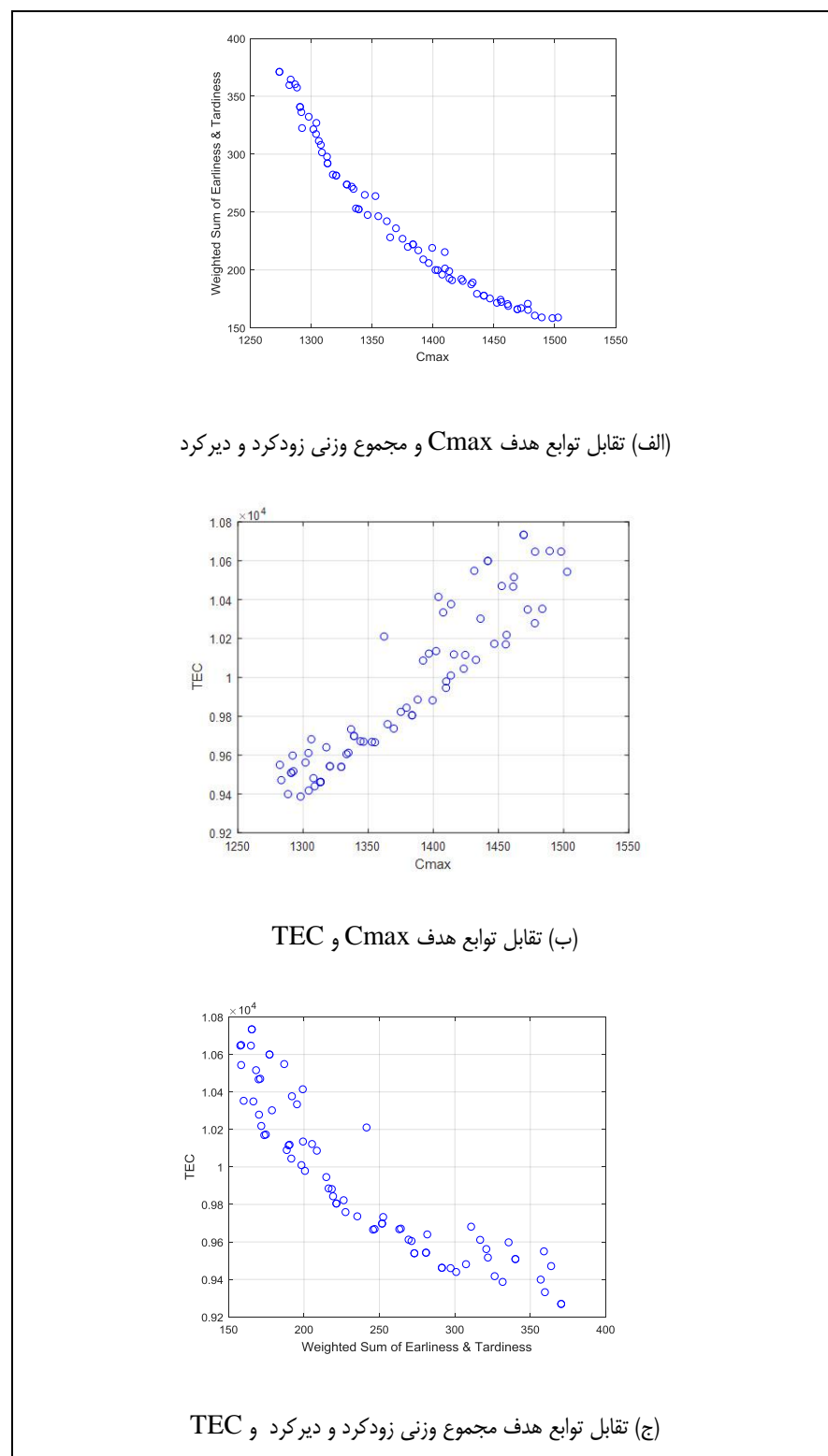
ب) صحتسنجی و تقابل توابع هدف

پیش از ارائه نتایج عملکرد الگوریتم به طور کلی در قالب یکی از مسائل نمونه بررسی شد تا در رابطه با صحتسنجی مدل و روش حل و همچنین نحوه تقابل توابع هدف بحث گردد.
به منظور مشاهده پاسخ‌های پارتو تولید شده توسط الگوریتم، یک نمونه نمودار پارتو سه حالت از الگوریتم پیشنهادی برای یکی از مسائل با مقیاس متوسط از خروجی نرم افزار متلب در شکل (۱) ترسیم گردیده است.



شکل شماره (۱): نمودار پارتو (حد مرزی جواب‌ها) برای مسئله شماره ۱ (از مسائل با مقیاس متوسط) برای حالات مختلف از الگوریتم

بر اساس این نمودار می‌توان دریافت که عملکرد الگوریتم با تعداد ۲۰۰ و ۱۰۰ تکرار نسبت به ۳۰۰ تکرار عملکرد بهتری داشته است. این نتیجه با آن چه در ردیف مربوطه به مسئله شماره ۱ از مسائل مقیاس متوسط (که در جدول (۶) در ادامه آورده می‌شود) هم خوانی دارد. برای نشان دادن تعارض بین توابع هدف ارائه شده در مدل ریاضی، یک نمونه از نمودارهای پارتو به صورت دو بعدی با در نظر گرفتن ترکیب‌های مختلف دو به دو از توابع هدف در شکل (۲) آورده شده است.



شکل شماره (۲): تقابل دو به دو توابع هدف

با توجه به نمودار (الف) از شکل (۲) تعارض بین کمینه‌سازی همزمان C_{max} و مجموع وزنی زودکرد و دیرکرد کارها به وضوح مشخص می‌باشد. با مشاهده نمودار (ب) بین کمینه‌سازی همزمان C_{max} و TEC تعارض ملموسی وجود ندارد. با توجه به تشکیل نقاط پارتو مختلف می‌توان ملاحظه نمود که در عین حال کمینه‌سازی هر دو تابع هدف در یک نقطه اتفاق نمی‌افتد. لازم

به ذکر است متعارض بودن تنها دو تابع هدف برای استفاده از روش‌های حل چند هدفه کفايت می‌نماید. با توجه به نمودار (ج) تعارض بین کمینه‌سازی همزمان TEC و مجموع وزنی زودکرد و دیرکرد کارها بهوضوح مشخص می‌باشد.

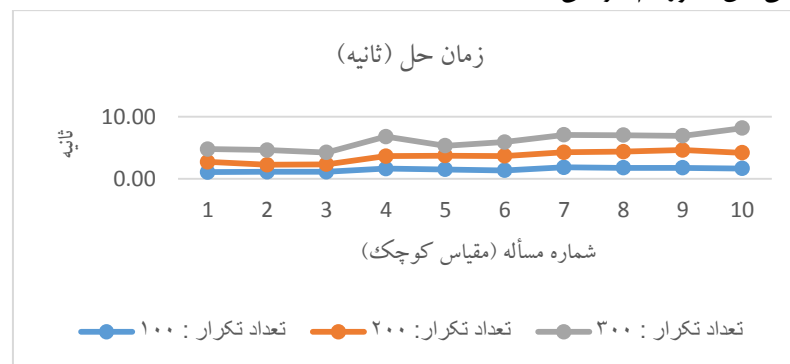
ج) نتایج حاصل از الگوریتم ژنتیک رتبه‌بندی نامغلوب

نتایج حاصل از حل مسائل با مقیاس کوچک در جدول (۸)، مسائل با مقیاس متوسط در جدول (۹) و مسائل با مقیاس بزرگ در جدول (۱۰) آورده شده است.

جدول شماره (۸): معیارهای ارزیابی الگوریتم با تعداد ۱۰۰، ۲۰۰ و ۳۰۰ تکرار برای مسائل با مقیاس کوچک

تعداد تکرار : ۳۰۰				تعداد تکرار : ۲۰۰				تعداد تکرار : ۱۰۰				الگوریتم NSGA-2	
CPU time (s)	SNS	MS	MID	CPU time (s)	SNS	MS	MID	CPU time (s)	SNS	MS	MID	n x m	ابعاد
۴/۷۹	۹۲/۹۶	۱۵/۹۳	۲۴۳/۷۰	۲/۷۳	۷۴/۲۹	۹/۳۱	۲۰۲/۵۰	۱/۰۸	۱۴۹/۹۳	۲۹/۰۶	۲۹۸/۹۲	۶x۵	۱
۴/۵۳	۳۲۱/۹۹	۱۵/۶۹	۶۴۴/۰۴	۲/۲۷	۲۲۹/۶۰	۱۷/۳۴	۴۷۶/۳۲	۱/۱۴	۲۶۱/۶۱	۱۷/۳۸	۴۶۴/۰۵	۶x۵	۲
۴/۲۶	۲۶۶/۲۷	۳۸/۹۴	۴۶۵/۶۲	۲/۳۵	۳۰۷/۸۷	۳۳/۴۸	۵۸۹/۵۹	۱/۱۳	۲۷۳/۲۱	۲۳/۰۰	۵۶۳/۸۷	۶x۵	۳
۶/۸۱	۹۶/۱۳	۸/۵۰	۱۴۷/۰۲	۲/۶۵	۹۶/۴۹	۱۷/۰۹	۳۴۵/۵۶	۱/۶۴	۵۹/۲۲	۱۵/۱۳	۱۷۶/۴۵	۵x۷	۴
۵/۳۴	۱۷۷/۷۶	۱۲/۹۶	۳۸۱/۰۳	۳/۷۲	۲۲۵/۲۴	۱۴/۹۸	۳۹۹/۵۸	۱/۵۱	۱۶۵/۴۵	۱۴/۰۶	۴۲۰/۷۲	۵x۷	۵
۵/۹۲	۷۵/۲۴	۲۴/۶۵	۲۰۱/۹۷	۳/۶۹	۴۲/۸۸	۱۸/۹۹	۲۸۱/۰۵	۱/۳۶	۴۵/۵۵	۱۷/۵۰	۲۱۸/۵۸	۵x۷	۶
۷/۰۹	۲۲۶/۸۷	۱۹/۴۴	۳۶۵/۳۶	۴/۲۸	۲۱۴/۹۱	۱۹/۴۹	۴۷۸/۶۷	۱/۸۷	۱۴۴/۶۱	۱۷/۸۰	۳۵۰/۰۱	۵x۸	۷
۷/۰۴	۲۶/۷۲	۹/۴۳	۱۳۰/۱۹	۴/۳۴	۳۷/۹۴	۶/۲۸	۱۳۵/۶۲	۱/۷۸	۶۵/۵۴	۱۲/۵۲	۱۷۱/۸۸	۵x۸	۸
۶/۹۳	۱۰۶/۶۲	۸/۶۴	۲۳۷/۰۰	۴/۶۳	۱۹۸/۲۳	۱۳/۶۴	۳۰۸/۳۷	۱/۷۷	۱۵۹/۹۰	۱۲/۳۵	۲۸۵/۵۷	۵x۸	۹
۸/۱۸	۱۹۴/۲۸	۱۹/۹۸	۴۹۶/۸۹	۴/۲۱	۲۲۰/۰۶	۱۷/۰۴	۴۳۸/۸۹	۱/۶۸	۱۷۸/۶۵	۲۵/۲۷	۳۸۶/۲۵	۵x۸	۱۰
۶/۸۹	۱۵۷/۹۸	۱۷/۴۲	۳۴۱/۲۸	۳/۸۵	۱۶۴/۷۶	۱۶/۷۶	۳۶۵/۶۱	۱/۶۷	۱۵۰/۳۷	۱۸/۴۱	۳۳۳/۶۳	میانگین	

با توجه به جدول (۷) و بر اساس نتایج بدست آمده در مقیاس کوچک الگوریتم با تعداد ۱۰۰ تکرار بر اساس معیارهای کیفیت و زمان حل عملکردی بهتر ارائه می‌کند. براساس معیارهای نظم پارتیو الگوریتم با تعداد ۲۰۰ تکرار عملکرد بهتری ارائه نموده است. نمودار (۱) زمان حل مسائل با مقیاس کوچک را برای سه حالت الگوریتم نشان می‌دهد. همان‌طور که ملاحظه می‌گردد با افزایش تعداد تکرارها زمان حل الگوریتم افزایش یافته است.



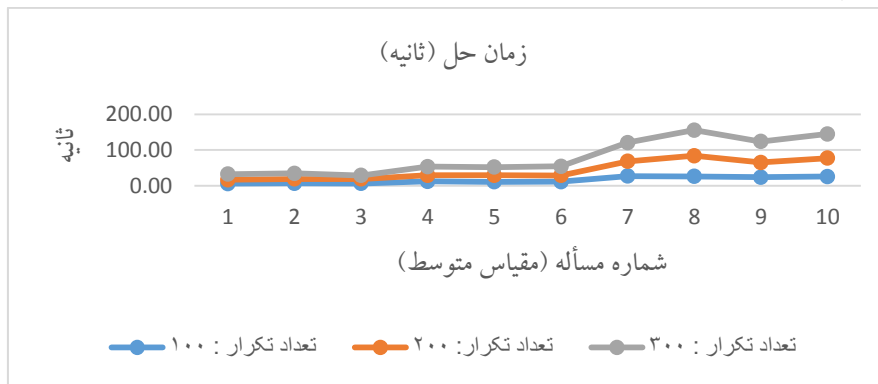
نمودار شماره (۱): نمودار مقایسه‌ای زمان حل مسائل با مقیاس کوچک در سه حالت الگوریتم (با تعداد ۱۰۰، ۲۰۰ و ۳۰۰ تکرار)

تعداد تکرار : ۳۰۰				تعداد تکرار : ۲۰۰				تعداد تکرار : ۱۰۰				الگوریتم NSGA-2	
CPU time (s)	SNS	MS	MID	CPU time (s)	SNS	MS	MID	CPU time (s)	SNS	MS	MID	n x m	ابعاد
۳۲/۱۹	۲۹/۰۴۵	۱۸/۸۷	۱۳۲۵/۵۳	۱۶/۴۸	۳۲۸/۴۸	۱۵/۸۴	۷۰۲/۵۰	۹۴۵	۳۲۸/۳۲	۲۰/۰۶	۵۳۴/۴۲	۱۰x۱۵	۱

۳۴/۵۹	۴۱۴/۵۴	۲۸/۶۳	۶۹۹/۹۰	۱۹/۰۵	۳۵۸/۵۹	۱۸/۰۹	۷۲۴/۰۷	۶/۸۰	۳۹۰/۴۲	۱۶/۴۳	۸۶۳/۳۳	۱۰×۱۵	۲
۲۸/۵۳	۳۵۵/۴۱	۳۲/۹۶	۱۶۰/۸۷۷	۱۸/۹۱	۷۷۳/۶۵	۲۱/۸۹	۶۶۰/۲۱	۶/۲۷	۶۵۶/۶۲	۲۶/۶۸	۹۸۶/۱۶	۱۰×۱۵	۳
۵۳/۳۹	۷۰/۱۹۰	۲۲/۳۴	۱۱۵۷/۵۹	۲۹/۰۲	۶۴۰/۲۲	۳۲/۸۲	/۰۸ ۱۲۲۰	۱۲/۰۳	۳۱۱/۰۷	۲۶/۴۷	۱۱۵۲/۶۱	۱۰×۲۰	۴
۵۲/۳۳	۳۰۲/۶۸	۵۱/۸۲	۶۸۲/۲۵	۲۹/۲۶	۳۷۹/۹۷	۸/۸۰	۸۹۳/۲۸	۱۰/۷۸	۲۷۰/۱۲	۱۰/۹۰	۷۹۶/۳۹	۱۰×۲۰	۵
۵۴/۳۲	۵۴۲/۴۰	۲۲/۱۵	۸۱۲/۵۶	۲۸/۸۰	۳۹۸/۷۸	۲۰/۴۶	۸۰۷/۰۲	۱۱/۱۵	۳۹۶/۲۱	۳۵/۰۷	۹۲۹/۷۴	۱۰×۲۰	۶
۱۲۰/۸۹	۴۱۸/۶۸	۱۹/۲۰	۹۷۷/۱۹	۶۸/۴۸	۴۵۹/۶۲	۲۳/۱۵	۶۴۰/۸۱	۲۶/۷۷	۲۵۸/۳۲	۲۸/۰۷	۱۱۱۶/۸۳	۱۰×۳۰	۷
۱۵۵/۷۹	۳۱۵/۲۳	۱۵/۵۹	۴۲۹/۵۰	۸۴/۱۴	۲۲۵/۹۴	۱۱/۷۲	۸۵۴/۷۴	۲۶/۱۸	۴۴۱/۴۸	/۵۱ ۱۴۸	۶۷۷/۴۳	۱۰×۳۰	۸
۱۲۴/۱۵	۲۵۱/۷۳	۱۵/۹۴	۴۱۴/۲۰	۶۵/۲۸	۲۰/۱۳۹	۱۲/۷۹	۸۴۵/۱۸	۲۳/۹۲	۹۸۱۶۹	۱۴/۸۷	۳۳۲/۹۹	۱۰×۳۰	۹
۱۴۵/۱۴	۱۹۹/۴۷	۱۲/۴۰	۴۶۶/۹۱	۷۷/۱۷	۱۵۹/۵۱	۱۳/۰۲	۴۳۲/۳۷	۲۵/۶۳	۳۱۰/۴۱	۳۳/۲۶	۵۸۲/۷۸	۱۰×۳۰	۱
۸۹/۹۴	۳۷۹/۲۵	۲۳/۹۹	۸۵۲/۴۴	۴۹/۶۳	۳۹۲/۶۲	۱۷/۸۶	۷۷۸/۰۳	۱۸/۰۸	۳۵۳/۲۵	۲۶/۰۴	۷۹۷/۳۷	میانگین	

جدول شماره (۹) : معیارهای ارزیابی الگوریتم با تعداد ۱۰۰، ۲۰۰ و ۳۰۰ تکرار برای مسائل با مقیاس متوجه

با توجه به جدول (۹) و بر اساس نتایج به دست آمده در مقیاس متوجه الگوریتم با تعداد ۲۰۰ تکرار بهترین حالت می‌باشد و بر اساس معیارهای کیفیت و نظم پارتو عملکرد بهتری ارائه نموده است. از لحاظ زمانی بدینه است الگوریتم با تعداد تکرار ۱۰۰ عملکرد بهتری ارائه کرده است.



نمودار شماره (۲) : مقایسه زمان حل مسائل با مقیاس متوجه در سه حالت الگوریتم (با تعداد ۱۰۰، ۲۰۰ و ۳۰۰ تکرار)

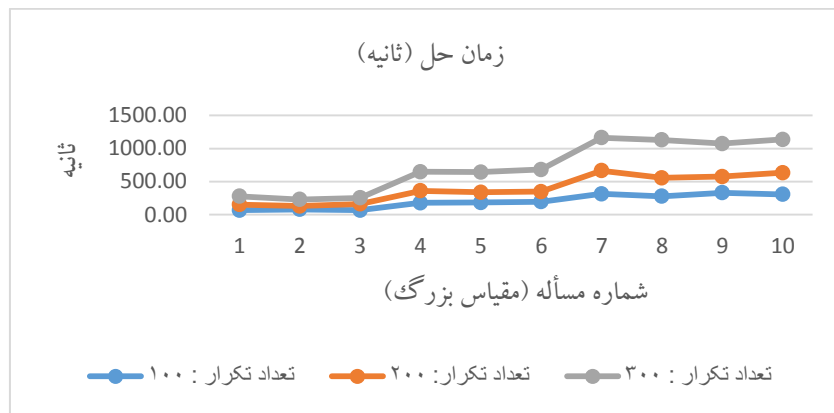
نمودار (۲) زمان حل مسائل با مقیاس متوجه را برای سه حالت الگوریتم نشان می‌دهد. همان طور که ملاحظه می‌گردد با افزایش تعداد تکرارها و ابعاد مسائل زمان حل الگوریتم افزایش یافته است.

جدول شماره (۱۰) : معیارهای ارزیابی الگوریتم با تعداد ۱۰۰، ۲۰۰ و ۳۰۰ تکرار برای مسائل با مقیاس بزرگ

تعداد تکرار: ۳۰۰	تعداد تکرار: ۲۰۰									تعداد تکرار: ۱۰۰									الگوریتم: n x m	
	CPU time (s)	SNS	MS	MID	CPU time (s)	SNS	MS	MID	CPU time (s)	SNS	MS	MID	n x m							
۳۷۸/۹۳	۱۶۰/۰۶۸	۵۳/۱۶	۷۲/۳۱۹۴	۱۵۳/۰۴	۱۶۰/۱۷۱	۱۱۳/۸۸	۲۱۴/۰۸	۶۶/۴۷	۱۷۳۹/۶۰	۴۴/۸۸	۲۶۷۵/۴۴	۳۰×۵۰	۱							
۲۲۹/۹۲	۱۹۲۶/۲۵	۲۸/۲۳	۳۹۹۹/۰۴	۱۳۱/۲۲	۱۶۴۱/۷۹	۸۴/۸۳	۳۵۶۲/۲۷	۷۸/۸۶	۲۱۴۸/۸۴	۹۹/۸۲	۶۳۴۲/۰۳	۳۰×۵۰	۲							
۲۵۲/۹۴	۱۶۱/۰۵۴	۲۶/۵۸	۲۸۱۹/۳۳	۱۶/۰۸۹	۱۴۳۵/۷۷	۳۹/۸۷	۲۴۵۷/۷۳	۶۷/۷۹	۱۶۰۳/۲۲	۷۶/۵۳	۲۸۸۳/۴۵	۳۰×۵۰	۳							
۵۴۷/۲۸	۶۱۶/۶۵	۵۲/۴۱	۲۲۵۶/۰۳	۲۶۱/۰۵	۷۷۶/۶۳	۹۶/۶۰	۴۶۰۷/۵۴	۱۷۹/۴۹	۱۰۷۲/۶۶	۷۴/۲۹	۴۹۸۲/۷۸	۳۰×۸۰	۴							
۶۴۴/۰۱	۱۲۲۵/۸۷	۷۱/۲۰	۱۶۶۲/۵۶	۳۲۸۷/۶۸	۷۵۷/۱۰	۴۶/۵۸	۱۷۷۴/۸۷	۱۸۴/۳۳	۹۱۶/۴۲	۵۰/۰۵۴	۳۵۰۱/۰۷	۳۰×۸۰	۵							
۶۸۲/۱۵	۱۳۷۴/۵۱	۶۰/۰۲۵	۱۷۷۲/۶۶	۳۴۹/۰۲	۱۲۸۳/۳۱	۷۶/۲۴	۵۴۵۶/۴۸	۱۹۶/۶۳	۹۲۹/۲۲	۲۸۱/۰۱	۸۶۸۴/۴۸	۳۰×۸۰	۶							
۱۱۴/۷۷	۲۴۲۱/۷۷	۶۱/۰۵۹	۱۶۷۸/۶۶	۶۶۵/۰۵	۱۴۳۳/۷۱	۷۴/۴۷	۲۱۰۵/۰۴	۳۱۵/۲۵	۵۸۷۳/۴۳	۱۷۷۴/۴۴	۳۷۷۴۳/۰۱	۳۰×۱۰۰	۷							
۱۱۳/۴۹	۱۰۵۹/۲۶	۸۸/۴۴	۲۰۵۲/۱۲	۵۵۷/۰۲	۹۸۲/۳۷	۶۱/۹۳	۱۷۷۹/۰۴	۲۷۹/۲۴	۷۹۶/۱۴	۱۸۲/۲۹	۳۵۰۶/۴۶	۳۰×۱۰۰	۸							

۱۰۷۲/۴۰	۲۹۲/۴۲	۹۷/۲۳	۱۴۷۸/۴۹	۵۷۴/۶۵	۱۱۳۰/۹۰	۶۴/۱۶	۲۶۴۰/۷۱	۳۲۰/۵۴	۱۰۹۱/۹۳	۱۰۳/۶۱	۳۷۶۴/۳۶	۳۰۰/۱۰۰	۹
۱۱۳۷/۹	۱۴۷۲/۶۸	۵۴/۶۶	۳۲۲۱/۲۵	۶۳۲/۱۱	۱۰۰۳/۱	۵۳/۵۶	۱۳۹۶/۹۲	۳۰۷/۸	۱۲۵۰/۲۰	۹۶/۹۷	۵۲۲۹/۰۲	۳۰۰/۱۰۰	۱۰
۸۰۶/۲۵	۱۳۷۸/۹۶	۵۹/۳۸	۲۳۹۰/۶۱	۴۴۷/۴۲	۱۲۰۲/۰۰	۷۰/۴۲	۲۷۹۲/۲۱	۲۳۰/۷۲	۱۲۲۲/۷۸	۱۱۸/۷۵	۴۶۲۲/۰۳	۳۰۰/۱۰۰	۱۱

با توجه به جدول (۱۰) و بر اساس نتایج بدست آمده در مقیاس بزرگ الگوریتم با تعداد ۳۰۰ تکرار بهترین حالت می‌باشد و بر اساس معیارهای کیفیت و نظم پارتو عملکرد بهتری ارائه نموده است. بر اساس معیار زمانی الگوریتم با ۱۰۰ تکرار عملکرد بهتری از خود نشان می‌دهد که با توجه به تعداد کمتر تکرارها بدیهی می‌باشد. همچنین در نمودار (۳) زمان حل مسائل با مقیاس بزرگ را برای سه حالت الگوریتم نشان می‌دهد. همان طور که ملاحظه می‌گردد با افزایش تعداد تکرارها و ابعاد مسائل زمان حل الگوریتم افزایش یافته است.

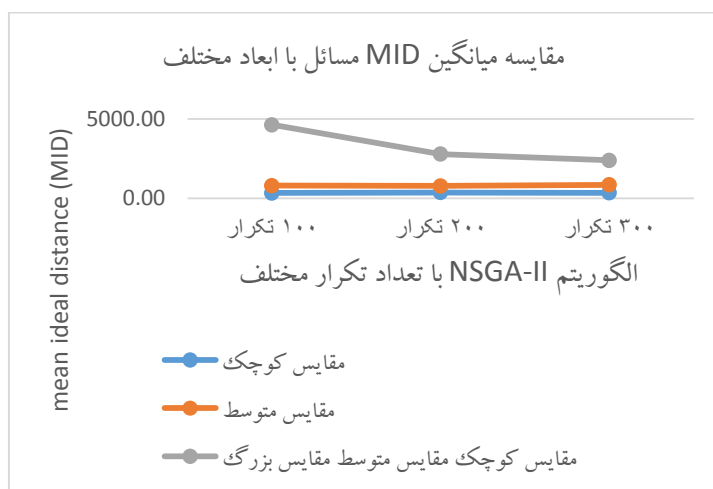


نمودار شماره (۳): زمان حل مسائل با مقیاس بزرگ در سه حالت الگوریتم (با تعداد ۱۰۰، ۲۰۰ و ۳۰۰ تکرار)

مقایسه میانگین‌های MID برای حالات مختلف الگوریتم و مقیاس‌های متفاوت در جدول (۱۱) آورده شده است. همچنین این مقایسه در نمودار (۴) نیز ارائه شده است.

جدول شماره (۱۱): مقایسه میانگین MID برای حالات مختلف الگوریتم و برای مسائل با مقیاس مختلف

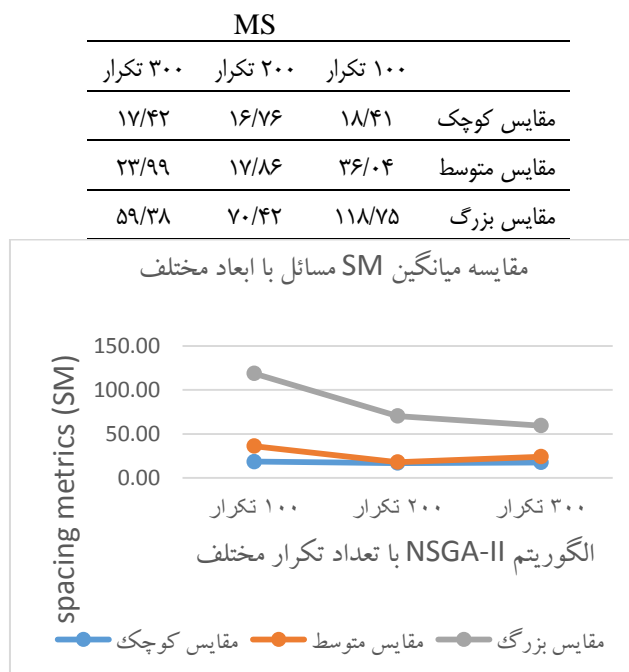
MID			
۱۰۰ تکرار	۲۰۰ تکرار	۳۰۰ تکرار	
۳۴۱/۲۸	۳۶۵/۶۱	۳۳۳/۶۳	مقایس کوچک
۸۵۲/۴۴	۷۷۸/۰۳	۷۹۷/۳۷	مقایس متوسط
۲۳۹۰/۶۱	۲۷۹۲/۲۱	۴۶۳۲/۰۳	مقایس بزرگ



نمودار شماره (۴): مقایسه میانگین MID برای حالات مختلف الگوریتم و برای مسائل با مقیاس مختلف

در جدول (۱۱) و نمودار (۴) مشاهده می‌گردد مقادیر **MID** با افزایش ابعاد مسئله افزایش داشته است. همچنین ملاحظه می‌گردد که مقدار **MID** برای مسائل با مقیاس بزرگ با افزایش تعداد تکرارها کاهش یافته است که نشان از برتری الگوریتم در این حالت برای مسائل با مقیاس بزرگ دارد.

جدول شماره (۱۲): مقایسه میانگین MS برای حالات مختلف الگوریتم و برای مسائل با مقیاس مختلف

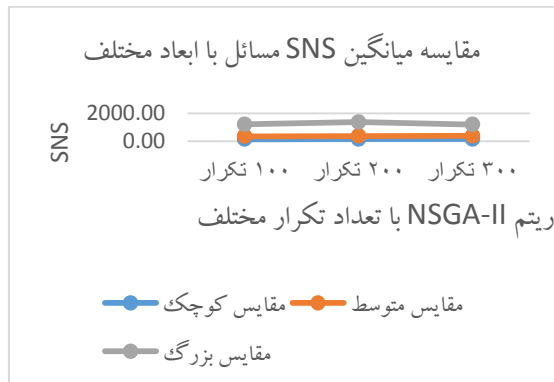


نمودار شماره (۵): مقایسه میانگین MS برای حالات مختلف الگوریتم و برای مسائل با مقیاس مختلف

با توجه به جدول (۱۲) و نمودار (۵) مشاهده می‌گردد مقادیر MS با افزایش ابعاد مسئله افزایش داشته است. بر اساس این نتایج برای مسائل با مقیاس کوچک الگوریتم با تعداد ۲۰۰ تکرار عملکرد بهتری ارائه نموده است. برای مسائل با مقیاس متوسط، الگوریتم با تعداد ۲۰۰ تکرار بهترین حالت و برای مسائل با مقیاس بزرگ نیز الگوریتم با ۳۰۰ تکرار بهترین نتایج را ارائه نموده است. همچنین با توجه به جدول (۱۲) و نمودار (۶) مشاهده می‌گردد مقادیر SNS با افزایش ابعاد مسئله افزایش داشته است.

جدول شماره (۱۳): مقایسه میانگین SNS برای حالات مختلف الگوریتم و برای مسائل با مقیاس مختلف

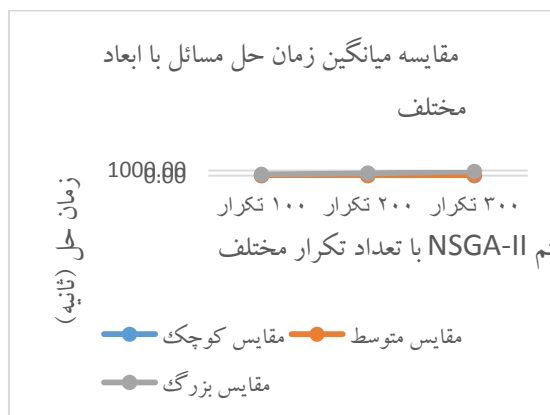
SNS			
	۱۰۰ تکرار	۲۰۰ تکرار	۳۰۰ تکرار
مقایس کوچک	۱۵۰/۹۸	۱۵۰/۳۷	۱۶۴/۷۶
مقایس متوسط	۳۵۳/۳۵	۳۹۷/۲۵	۳۹۲/۶۲
مقایس بزرگ	۱۲۲۲/۷۸	۱۳۷۸/۹۶	۱۲۰۲/۰۰



نمودار شماره (۶): مقایسه میانگین SNS برای حالات مختلف الگوریتم و برای مسائل با مقیاس مختلف

جدول (۱۴) و نمودار (۷) مقایسه میانگین زمان حل برای حالات مختلف الگوریتم و برای مسائل با مقیاس مختلف را نشان می‌دهد که نشان‌گر افزایش زمان حل مسائل با افزایش ابعاد مسئله و افزایش تعداد تکرارهای الگوریتم می‌باشد.
جدول شماره (۱۴): مقایسه میانگین زمان حل برای حالات مختلف الگوریتم و برای مسائل با مقیاس مختلف

CPU time (s)			
۱۰۰ تکرار	۲۰۰ تکرار	۳۰۰ تکرار	
۶/۸۹	۳/۸۵	۱/۶۷	مقایس کوچک
۸۹/۹۴	۴۹/۶۳	۱۸/۰۸	مقایس متوسط
۸۰۶/۲۵	۴۴۷/۴۲	۲۳۰/۷۲	مقایس بزرگ



نمودار شماره (۷): مقایسه میانگین زمان حل برای حالات مختلف الگوریتم و برای مسائل با مقیاس مختلف

د) نتایج حاصل از الگوریتم تکاملی چنددهفه‌ی بهینه‌سازی ازدحام ذرات

نتایج حاصل از الگوریتم تکاملی چنددهفه‌ی بهینه‌سازی ازدحام ذرات با تعداد ۱۰۰، ۲۰۰ و ۳۰۰ تکرار برای مسائل با مقیاس کوچک، متوسط و بزرگ به ترتیب در جدول (۱۵)، (۱۶) و (۱۷) آمده است. همچنین سایر پارامترهای الگوریتم تکاملی چنددهفه بر اساس آزمایشات اولیه مطابق جدول (۱۵) تنظیم گردیده است.

جدول شماره (۱۵): مقادیر تنظیم شده پارامترهای الگوریتم MOPSO

نام	تعريف	مقدار
C1	ضریب یادگیری شخصی	۲/۰۰
C2	ضریب یادگیری عمومی	۲/۰۵
W	وزن اینرسی	۱
npop	تعداد ذرات	$2 \times n_{job}$

جدول شماره (۱۶): معیارهای ارزیابی الگوریتم MOPSO با تعداد ۱۰۰، ۲۰۰ و ۳۰۰ تکرار برای مسائل با مقیاس کوچک

MOPSO												
تعداد تکرار : ۳۰۰				تعداد تکرار : ۲۰۰				تعداد تکرار : ۱۰۰				
CP U time (s)	SNS	MS	MID	CPU time (s)	SNS	MS	MID	CPU time (s)	SNS	MS	MID	ابعاد n x (m)
۴/۸۵	۹۱/۲۶	۱۱/۷۶	۲۶۱/۹۳	۲/۷۷	۷۸/۰۲	۴/۴۹	۳۰۹/۷۲	۱/۰۰	۱۴۹/۶۵	۲۴/۴۲	۲۰۷/۶۱	۶۳۵ ۱
۴/۸۰	۳۲۲/۴۹	۱۰/۸۲	۶۷۵/۰۳	۲/۳۱	۲۲/۱۸	۱۵/۲۳	۴۷۹/۰۰	۱/۰۵	۲۵۳/۷۲	۹/۳۴	۵۰۰/۷۶	۶۳۵ ۲
۴/۳۴	۲۵۶/۹۴	۳۵/۹۰	۵۰۶/۰۶	۲/۴۶	۲۸۶/۷۵	۳۱/۷۶	۵۸۶/۶۶	۱/۰۷	۲۶۱/۸۰	۱۶/۸۶	۵۹۱/۷۲	۶۳۵ ۳
۶/۸۲	۹۵/۵۳	۲/۵۲	۱۶۰/۰۹	۳/۷۰	۹۸/۴۴	۱۳/۱۹	۱۹۰/۳۸	۱/۶۵	۶۱/۱۴	۱۳/۱۳	۲۶۱/۲۴	۷۳۵ ۴
۵/۵۸	۱۷۳/۱۱	۸/۹۳	۳۸۶/۱۲	۳/۸۳	۲۱۲/۳۳	۹/۶۴	۴۲۶/۹۹	۱/۵۱	۱۶۵/۰۱	۱۴/۰۸	۴۲۶/۳۴	۷۳۵ ۵
۵/۹۹	۷۵/۹۹	۲۰/۵۶	۳۰۹/۵۲	۳/۸۳	۴۰/۳۱	۱۸/۵۷	۲۲۰/۰۵	۱/۴۰	۷۴/۴۰	۱۸/۳۴	۲۹۴/۸۷	۷۳۵ ۶
۷/۴۴	۲۲۵/۴۰	۱۲/۲۵	۳۸۲/۲۳	۴/۳۶	۲۱۳/۵۲	۱۸/۹۲	۳۵۳/۰۴	۱/۹۲	۱۳۷/۲۶	۱۷/۶۳	۵۱۹/۶۱	۸۳۵ ۷
۷/۱۰	۲۸/۸۸	۹/۱۹	۱۳۶/۹۳	۴/۵۷	۳۸/۶۱	۱/۸۵	۱۷۷/۴۳	۱/۷۹	۶۵/۱۱	۱۲/۰۲	۱۳۷/۱۹	۸۳۵ ۸
۶/۹۸	۱۰۸/۰۹	۲/۶۰	۲۳۸/۶۸	۴/۷۴	۱۹۱/۶۳	۱۳/۲۱	۳۰۷/۳۴	۱/۷۹	۱۵۸/۴۷	۵/۴۶	۳۱۰/۸۱	۸۳۵ ۹
۸/۴۹	۱۸۹/۸۶	۱۲/۰۶	۵۱۵/۳۸	۴/۲۷	۲۲۰/۴۲	۹/۲۹	۴۰۳/۹۹	۱/۷۳	۱۷۳/۸۳	۲۵/۴۴	۴۴۰/۲۰	۸۳۵ ۱۰
۶/۲۴	۱۵۶/۷۶	۱۲/۶۶	۳۵۷/۲۱	۳/۶۸	۱۶۰/۰۲	۱۳/۶۳	۳۴۵/۴۶	۱/۴۹	۱۴۷/۳۴	۱۵/۶۷	۳۷۹/۰۳	میانگین

جدول شماره (۱۷): معیارهای ارزیابی الگوریتم MOPSO با تعداد ۱۰۰، ۲۰۰ و ۳۰۰ تکرار برای مسائل با مقیاس متوسط

MOPSO												
تعداد تکرار : ۳۰۰				تعداد تکرار : ۲۰۰				تعداد تکرار : ۱۰۰				
CPU time (s)	SNS	MS	MID	CPU time (s)	SNS	MS	MID	CPU time (s)	SNS	MS	MID	n ابعاد x m)
۳۲/۳۸	۲۹۰/۲۷	۱۰/۲۹	۱۴۸۴/۲۹	۱۶/۵۸	۳۱۸/۳۵	۷/۲۶	۷۲۰/۳۰	۵/۹۹	۳۱۴/۳۸	۱۴/۲۵	۵۶۶/۸۲	۱۵X۱۰ - ۱
۳۴/۶۳	۳۹۷/۵۷	۳۰/۰۶	۷۷۹/۸۳	۱۹/۷۸	۳۴۹/۱۸	۱۱/۱۵	۷۶۶/۴۶	۷/۰۳	۳۵۲/۲۶	۱۶/۰۵	۸۹۰/۶۴	۱۵X۱۰ - ۲
۲۸/۶۷	۳۴۵/۵۴	۳۰/۲۶	۱۷۸۹/۳۸	۱۹/۲۵	۷۶۷/۲۶	۲۱/۵۲	۶۶۷/۳۷	۶/۵۱	۶۲۰/۴۹	۱۸/۹۷	۱۰۱۳/۶۶	۱۵X۱۰ - ۳
۵۳/۶۳	۶۹۶/۶۸	۲۱/۱۹	۱۱۶۱/۳۴	۳۰/۶۰	۵۵۱/۵۴	۲۵/۰۳	۱۲۹۰/۸۴	۱۲/۱۶	۲۸۱/۹۹	۲۲/۶۹	۱۱۷۸/۱۰	۲۰X۱۰ - ۴
۵۲/۸۲	۲۹۵/۳۲	۴۹/۹۴	۶۹۲/۷۴	۳۰/۰۸	۳۶۲/۶۹	۸/۷۸	۹۴۰/۹۰	۱۰/۹۵	۲۷۴/۸۳	۷/۱۴	۸۰۶/۳۹	۲۰X۱۰ - ۵
۵۴/۳۲	۵۲۸/۱۸	۱۶/۸۲	۸۷۲/۸۷	۳۰/۴۶	۳۸۵/۱۲	۱۳/۷۶	۸۴۳/۳۹	۱۱/۳۱	۳۷۰/۲۴	۲۹/۸۶	۱۰۱۵/۵۱	۲۰X۱۰ - ۶
۱۲۱/۸۷	۳۸۹/۳۹	۱۳/۹۶	۱۰۳۰/۰۲	۷۰/۶۶	۴۰۸/۷۲	۱۵/۳۴	۶۷۴/۱۴	۲۷/۵۳	۲۵۱/۶۳	۲۴/۶۰	۱۱۴۳/۸۹	۳۰X۱۰ - ۷
۱۵۵/۹۵	۳۱۵/۴۶	۱۵/۲۳	۴۶۳/۳۳	۸۸/۵۶	۱۹۵/۲۱	۵/۳۷	۸۹۳/۵۷	۲۶/۴۰	۴۰۱/۳۷	۱۴۱/۸۹	۷۰۳/۱۴	۱۰X۳۰ - ۸
۱۲۴/۷۹	۲۳۷/۳۶	۷/۰۵	۴۵۲/۲۴	۶۷/۵۰	۱۸۸/۳۳	۴/۸۴	۹۱۸/۹۱	۲۴/۱۷	۱۶۲/۶۰	۹/۲۶	۳۶۱/۹۶	۱۰X۳۰ - ۹
۱۴۵/۳۰	۱۸۹/۳۷	۹/۳۳	۴۷۰/۱۹	۷۹/۵۹	۱۶۱/۷۷	۳/۵۷	۴۴۲/۰۱	۲۶/۳۰	۳۱۲/۲۴	۲۸/۵۷	۶۲۴/۹۸	۱۰X۳۰ - ۱۰
۸۰/۴۴	۳۶۸/۵۴	۲۰/۳۵	۹۱۹/۹۲	۴۵/۳۰	۳۶۸/۸۰	۱۱/۶۶	۸۱۵/۸۹	۱۵/۸۴	۳۳۴/۲۱	۳۱/۳۳	۸۳۰/۵۱	میانگین

جدول شماره (۱۸): معیارهای ارزنابی الگوریتم MOPSO با تعداد ۱۰۰، ۲۰۰ و ۳۰۰ تکرار برای مسائل با مقیاس بزرگ

۲۲۹/۴۵	۱۴۹/۵۸	۴۳/۸۷	۲۲۰/۷/۲۰	۱۰۵/۸۱	۱۵۰/۰/۹۳	۱۱۳/۴۴	۲۲۵۹/۷-	۵۶/۶۸	۱۶۱۰/۹۲	۴۰/۲۸	۲۹۵۷/۵۸	۵۰-۰۳۰	۱
۱۵۷/۵۶	۱۸۴۷/۵۵	۲۲/۴۳	۴۵۷۷/۲۹	۱۳۳/۸۴	۱۴۷۵/۱	۸۴/۷۵	۳۷۲۱/۹-	۷-/۰۸	۲۰۲۰/۲۸	۱۱۰/۳۱	۷۱۸۲/۲۶	۵۰-۰۳۰	۲
۲۰۶/۹۴	۱۵۰-۵۶-	۲۸/۰۸	۲۲۸۷/-۱	۱۶۷/۱۷	۱۳۷-/۸۱	۳-/۰۸۲	۲۶۵۷/۴۶	۶۸/۸۸	۱۴۶۵/۴۷	۷۹/۰۰	۴۱۷۱/۹۴	۵۰-۰۳۰	۳
۶۱۶/۶-	۵۱۲/۴۷	۴۰/۰۱	۲۶۵۰/-۲	۳۶۴/۸۷	۷-۰۴/۸۹	۱۰۶/۱۷	۴۸۹۲/۲۸	۱۷۷/۵۶	۹۸۴/۷۵	۷۵/۶۳	۵۲۱۸/۴۹	۸-۰۳۰	۴
۶۰۵/۷۶	۱۰۸۲/۴۶	۷۶/۰۷	۱۹۳۹/۸۸	۳۷۹/۷۴	۷۰۶/۷۹	۴۳/۰۴۴	۱۷۸۶/-۱	۱۸۵/۸۹	۹۰۴/۹۳	۴۷/۰۵	۲۸۷۸/۹۹	۸-۰۳۰	۵
۶۴۴/-۰	۱۲۰/۱۸	۶۰/۰۸	۱۴۳۸/۲۸	۳۷۹/۱۹	۱۳۷۵/-۱	۷۹/۲۶	۵۶-۰/۰۳	۱۹۹/۵۹	۹۲۸/۲۴	۳۱۱/۳۹	۹۵۰-۰۲۰	۸-۰۳۰	۶
۱۱۲۶/-۰۵	۲-۰۷۸۷/۲۱	۵۰/۰۷	۱۸۶۱/۶۱	۷۰۲/۱۲	۱۲۹۶/۷۲	۷۷۳/۹۲	۲۳۵۹/۰۵	۳۱۹/۵۴	۵۰۷۳/۲۵	۱۷۸۷/۱۶	۴-۰۸۴/۱۴	۱۰۰-۰۳۰	۷
۱۰۹/-۰۸	۱-۰۵۸/۶۲	۹۳/۲۳	۲۱۸۰/۲۷	۵۶۷/۲۷	۸۹۸۰/۱۸	۵۸/۲۲	۱۹۸۰/۰۹	۲۸۰/۰۳	۷۷۹/۲۸	۱۹۳/۹۶	۲۶۹۰/۵۷	۱۰۰-۰۳۰	۸
۱-۰۴/۲۳	۲۷۵۰/-۰۶	۹۰/۰۶	۱۷۵۱/-۰۸	۶۰۴/۹۶	۱۰۰۷/۲۸	۶۲/۷۶	۲۷۵۶/۲۷	۳۳۵/۹۵	۱۰۴۴/۴۸	۹۹/۱۵	۲۸۹/۵۸	۱۰۰-۰۳۰	۹
۱۱۰۸/۲۲	۱۱۹۹/۱۳	۵۷/۵۵	۲۶۲۱/۵۷	۶۳۴/۸۹	۸۵۰/۰۲	۵۶/۴۰	۱۴۲۳/۱۷	۳۱۱/۷۰	۱۲۱۵/۰۱	۹۵/۰۷	۵۶۱/۰۱	۱۰۰-۰۳۰	۱۰
۶۸۶/۶۹	۱۲۲۰/۹۱	۵۶/۲۸	۲۶۴۸/۸۳	۴۰۴/۷۶	۱۱۰۰/۱۱	۷-۰۹۲	۲۹۴۹/۴۱	۲۰۰/۲۴	۱۱۴۸/۳۱	۱۲۳/۱۷	۵۰۱۴/۹۹	میانگین	

بر اساس نتایج بدست آمده، برای مسائل با مقیاس کوچک و متوسط الگوریتم با ۲۰۰ تکرار و برای مسائل با مقیاس بزرگ الگوریتم با ۳۰۰ تکرار عملکرد بهتری ارائه داده است. بنابراین برای مقایسه دو الگوریتم پیشنهاد شده در این تحقیق، بهترین مقادیر معیارهای بدست آمده در الگوریتم را با یکدیگر مقایسه خواهیم نمود. مقادیر چهار معیار ارزیابی در جدول (۱۹) آمده است.

جدول شماره (۱۹): معیارهای ارزیابی برای دو الگوریتم MOPSO و NSGA-II برای مسائل با مقیاس کوچک، متوسط و بزرگ

mopso				nsga2				n (x m)
CPU time (s)	SNS	MS	MID	CPU time (s)	SNS	MS	MID	
۲/۷۷	۷۸/۰۲	۴/۴۹	۳۰۹/۷۲	۱/۰۸	۱۴۹/۹۳	۲۹/۰۶	۲۹۸/۹۲	۶۸۵
۲/۳۱	۲۲۰/۱۸	۱۵/۲۳	۴۷۹/۰۰	۱/۱۴	۲۶۱/۶۱	۱۷/۳۸	۴۶۴/۰۵	۶۸۵
۲/۴۶	۲۸۶/۷۵	۳۱/۷۶	۵۸۶/۶۶	۱/۱۳	۲۷۳/۲۱	۲۳/۰۰	۵۶۳/۸۷	۶۸۵
۳/۰۰	۹۸/۴۴	۱۳/۱۹	۱۹۰/۳۸	۱/۶۴	۲۲/۰۹	۱۵/۱۳	۱۷۶/۴۵	۷۸۵
۳/۸۳	۲۱۲/۲۳	۹/۶۴	۴۲۶/۹۹	۱/۵۱	۱۶۵/۴۵	۱۴/۰۶	۴۲۰/۷۲	۷۸۵
۳/۸۳	۴۰/۳۱	۱۸/۶۴	۲۲۰/۰۵	۱/۳۶	۴۵/۰۵	۱۷/۵۰	۲۱۸/۵۸	۷۸۵
۴/۳۶	۲۱۳/۵۲	۱۸/۹۲	۳۵۳/۰۴	۱/۸۷	۱۴۴/۶۱	۱۷/۸۰	۳۵۰/۰۱	۸۸۵
۴/۵۷	۳۸/۸۱	۱/۸۵	۱۷۷/۴۳	۱/۷۸	۶۵/۰۴	۱۲/۵۲	۱۷۱/۸۸	۸۸۵
۴/۷۴	۱۹۱/۶۳	۱۳/۲۱	۳۰۷/۳۴	۱/۷۷	۱۵۹/۹۰	۱۲/۳۵	۲۸۵/۰۷	۸۸۵
۴/۲۷	۲۲۰/۴۲	۹/۲۹	۴۰۳/۹۹	۱/۶۸	۱۷۸/۶۵	۲۵/۲۷	۳۸۶/۲۵	۸۸۵
۱۶/۵۸	۳۱۸/۳۵	۷/۲۶	۷۲۱/۳۰	۱۶/۴۸	۳۲۸/۴۸	۱۵/۸۴	۷۰۲/۵۰	۱۵۸۱۰
۱۹/۷۸	۳۴۹/۱۸	۱۱/۱۵	۷۶۶/۴۶	۱۹/۰۵	۳۵۸/۵۹	۱۸/۰۹	۷۲۴/۰۷	۱۵۸۱۰
۱۹/۲۵	۷۶۷/۰۶	۲۱/۵۲	۶۶۷/۳۷	۱۸/۹۱	۷۷۳/۶۵	۲۱/۸۹	۶۶۰/۲۱	۱۵۸۱۰
۳۰/۶۰	۵۵۱/۵۴	۲۵/۰۳	۱۲۹۰/۸۶	۲۹/۰۲	۶۴۰/۲۲	۳۲/۸۲	۱۲۲۰/۰۸	۲۰۰۱۰
۳۰/۰۸	۳۶۲/۶۹	۸/۷۸	۹۴۰/۹۰	۲۹/۲۶	۳۷۹/۹۷	۸/۸۰	۸۹۳/۲۸	۲۰۰۱۰
۳۰/۴۶	۳۵۸/۱۲	۱۳/۷۶	۸۴۳/۳۹	۲۸/۸۰	۳۹۸/۷۸	۲۰/۴۶	۸۰۷/۰۲	۲۰۰۱۰
۷۰/۶۶	۴۰۸/۷۲	۱۵/۳۴	۶۷۴/۱۴	۶۸/۴۸	۴۵۹/۶۲	۲۳/۱۵	۶۴۰/۸۴	۳۰۰۱۰
۸۸/۵۶	۱۹۵/۲۱	۵/۳۷	۸۹۳/۵۷	۸۴/۱۴	۲۲۵/۹۴	۱۱/۷۲	۸۵۴/۷۴	۳۰۰۱۰
۶۷/۵۰	۱۸۸/۳۳	۴/۸۴	۹۱۸/۹۱	۶۵/۲۸	۲۰۱/۳۹	۱۲/۷۹	۸۴۵/۱۸	۳۰۰۱۰
۷۹/۰۹	۱۶۱/۷۷	۳/۵۷	۴۴۲/۰۱	۷۷/۱۷	۱۰۹/۵۱	۱۳/۰۲	۴۳۲/۳۷	۳۰۰۱۰
۲۲۹/۴۵	۳۹۱۴/۶۸	۴۳/۸۷	۳۲۰۷/۲۰	۲۷۸/۷۹	۱۶۸۰/۶۸	۵۳/۱۶	۳۱۹۴/۷۲	۵۰۰۱۰
۱۷۵/۵۶	۱۸۴۷/۵۵	۲۲/۴۳	۴۵۷۷/۲۹	۲۲۹/۹۲	۱۹۲۶/۲۵	۲۸/۳۳	۳۹۹۹/۰۴	۵۰۰۱۰
۲۰۶/۹۴	۱۵۰۶/۶۰	۲۸/۰۸	۳۲۸۷/۰۱	۲۵۲/۹۴	۱۶۱۸/۵۴	۲۶/۵۸	۲۸۱۹/۴۳	۵۰۰۱۰

۶۱۶/۶۰	۵۱۲/۴۷	۴۰/۳۱	۲۶۵۰/۰۲	۶۴۷/۲۸	۶۱۶/۶۵	۵۲/۴۱	۲۳۵۶/۰۳	۸۰X۳۰	۴
۶۰۵/۷۶	۱۰۸۲/۴۶	۷۴/۰۷	۱۹۳۹/۹۸	۶۴۴/۰۱	۱۲۲۵/۸۷	۷۱/۲۰	۱۶۶۲/۶۶	۸۰X۳۰	۵
۶۴۴/۰۳	۱۲۰۹/۱۸	۶۰/۴۸	۱۴۳۸/۲۸	۶۸۲/۱۵	۱۴۷۴/۵۱	۶۰/۲۵	۱۳۹۷۳/۶۶	۸۰X۳۰	۶
۱۱۲۶/۰۵	۳۱۲۰۷۸	۵۰/۷۳	۱۸۶۱/۶۱	۱۱۴۶/۷۷	۳۴۲۱/۷۷	۶۱/۵۹	۱۶۴۷/۶۶	۱۰۰X۳۰	۷
۱۰۹۰/۰۸	۱۰۵۸/۶۲	۹۳/۲۳	۲۱۸۰/۲۷	۱۱۳۰/۴۹	۱۰۵۹/۲۶	۸۸/۴۴	۲۰۵۳/۱۲	۱۰۰X۳۰	۸
۱۰۶۴/۲۳	۲۷۵۰/۰۶	۹۰/۹۶	۱۷۱۵/۰۸	۱۰۷۳/۴۰	۲۹۹۲/۴۲	۹۷/۲۳	۱۴۷۸/۴۹	۱۰۰X۳۰	۹
۱۱۰۸/۲۳	۱۱۹۹/۱۳	۵۷/۶۶	۳۶۳۱/۵۷	۱۱۳۷/۰۹	۱۴۷۳/۶۸	۵۴/۶۶	۳۳۲۱/۲۵	۱۰۰X۳۰	۱۰
۲۴۵/۲۳	۵۸۲۰/۲۴	۲۷/۱۹	۱۲۷۰/۰۶	۲۵۶/۴۱	۶۴۰/۶۵	۳۱/۸۸	۱۱۶۷/۴۲	میانگین	

(۵) مقایسه عملکرد دو الگوریتم

رتیبه‌بندی کلی الگوریتم‌های پیشنهادی از نظر معیارهای مورد استفاده، از روش تصمیم‌گیری چند شاخصه ترکیبی به نام تکنیک ترکیبی روش تصمیم‌گیری سلسه مراتبی و تاپسیس صورت گرفته است. برای بکارگیری روش باید ابتدا وزن هر کدام از معیارهای ارزیابی الگوریتم‌های چنددهفه را مشخص نمود. برای این کار ماتریس مقایسات زوجی بر اساس اهمیت شاخص‌ها از نظر متخصصان در جدول (۱۹) آورده شده است.

جدول شماره (۲۰): ماتریس مقایسات زوجی شاخص‌های ارزیابی

MS	MID	SNS	TIME	
۱	.۰/۵	.۰/۵	۲	MS
۲	۱	۳	۱۰	MID
۲	.۰/۳۳	۱	۵	SNS
.۰/۵	.۰/۱	.۰/۲	۱	TIME

با توجه به ماتریس مقایسات زوجی و با استفاده از روش AHP وزن هر یک از شاخص‌های ارزیابی الگوریتم‌ها بدست خواهد آمد. در اینجا از روش میانگین هندسی مطابق با رابطه (۱-۴) وزن نسبی شاخص‌ها بدست خواهد آمد.

$$\text{رابطه (۲۰)} \quad W_i = \sqrt[4]{f_{i1} \times f_{i2} \times f_{i3} \times f_{i4}}$$

در این رابطه W_i وزن نسبی شاخص i ام و f_{ij} مقدار موجود در درایه j م ماتریس تصمیم‌گیری می‌باشد. با توجه به اینکه باید مجموع وزن های شاخص ها برابر با یک باشد، وزن شاخص‌ها با نرمال کردن وزن های نسبی شاخص ها بدست خواهد آمد. برای این منظور کافیست وزن نسبی هر یک از شاخص‌ها بر مجموع وزن‌های نسبی تمامی شاخص‌ها تقسیم گردد. وزن‌های نرمال شده شاخص‌ها در جدول (۲۱) نشان داده شده است.

جدول شماره (۲۱): مقادیر وزن معیارهای ارزیابی بدست آمده با استفاده از روش AHP

شاخص	وزن
MS	.۰/۱۷
MID	.۰/۵۰
SNS	.۰/۲۷
TIME	.۰/۰۷

بنابراین تا به این جا با استفاده از روش تحلیل سلسه مراتبی توانستیم وزن هر یک از شاخص‌های ارزیابی الگوریتم‌ها را محاسبه نماییم. در گام بعد با استفاده از روش تاپسیس الگوریتم‌ها رتبه‌بندی خواهد شد و نهایتاً الگوریتم کاراتر مشخص می‌شود.

برای انجام روش تاپسیس گام‌های زیر انجام می‌گردد.

گام ۱: تشکیل ماتریس تصمیم

در جدول (۲۲) مقادیر میانگین هر یک از شاخص‌ها که برای هر کدام از الگوریتم‌ها محاسبه گردیده است از جدول (۱۹) آورده شده است.

جدول شماره (۲۲): ماتریس تصمیم‌گیری

CPU time (s)	SNS	MS	MID	
۲۵۶/۴۱	۶۴۰/۶۵	۳۱/۸۸	۱۱۶۷/۴۲	NSGA-II
۲۴۵/۲۳	۵۸۳/۲۴	۲۷/۱۹	۱۲۷۰/۰۶	MOPSO

گام ۲: تشکیل ماتریس تصمیم نرمال
نرمال‌سازی ماتریس تصمیم با استفاده از رابطه (۲-۴) صورت می‌گیرد.

$$r_{ij} = \frac{x_{ij}}{\sum_{i=1}^n x_{ij}} \quad \text{رابطه (۲۱)}$$

در این رابطه x_{ij} مقادیر درایه‌های ماتریس تصمیم و r_{ij} مقادیر نرمال شده ماتریس تصمیم می‌باشند. ماتریس تصمیم نرمال شده در جدول (۲۳) نشان داده شده است.

جدول شماره (۲۳): ماتریس تصمیم‌گیری

CPU time (s)	SNS	MS	MID	
۰/۵۱۱	۰/۵۲۳	۰/۵۴۰	۰/۴۷۹	NSGA-II
۰/۴۸۹	۰/۴۷۷	۰/۴۶۰	۰/۵۲۱	MOPSO

گام ۳: تشکیل ماتریس نرمال وزن دار
در این گام وزن‌های بدست آمده با استفاده از روش AHP در ماتریس تصمیم نرمال ضرب خواهد شد. مقادیر این ماتریس با استفاده از رابطه (۲۴) محاسبه خواهند شد.

$$V_{ij} = r_{ij} \times W_i \quad \text{رابطه (۲۲)}$$

جدول شماره (۲۴): ماتریس نرمال وزن دار

CPU time (s)	SNS	MS	MID	
۰/۰۳۵	۰/۱۳۹	۰/۰۸۹	۰/۲۴۰	NSGA-II
۰/۰۳۳	۰/۱۲۷	۰/۰۷۶	۰/۲۶۱	MOPSO

گام ۴: تعیین ماتریس ایده‌آل
مقادیر ایده‌آل مثبت و منفی به ترتیب به عنوان بزرگترین ارزش معیارهای مثبت و کوچک ترین مقدار معیار منفی است. در نقطه مقابل جواب ایده‌آل منفی به عنوان کوچکترین مقدار معیارهای مثبت و بزرگترین مقدار معیارهای منفی در نظر گرفته می‌شود. مقادیر ایده‌آل‌های مثبت و منفی برای شاخص‌ها در جدول (۲۵) آورده شده است.

جدول شماره (۲۵): مقادیر ایده‌آل‌های مثبت و منفی برای شاخص‌های ارزیابی

CPU time (s)	SNS	MS	MID	
۰/۰۳۳	۰/۱۳۹	۰/۰۷۶	۰/۲۴۰	مقادیر مثبت
۰/۰۳۵	۰/۱۲۷	۰/۰۸۹	۰/۲۶۱	مقادیر منفی

گام ۵: تعیین فاصله از ایده‌آل مثبت و منفی
در این گام فاصله اقلیدسی گزینه‌ها با استفاده از جواب ایده‌آل مثبت و منفی از رابطه‌های (۴-۴) و (۵-۴) به ترتیب برای فاصله از ایده‌آل مثبت و ایده‌آل منفی محاسبه می‌شود.

$$d_i^+ = \sqrt{\sum_{j=1}^n (V_{ij} - V_j^+)^2} \quad \text{رابطه (۲۳)}$$

$$d_i^- = \sqrt{\sum_{j=1}^n (V_{ij} - V_j^-)^2} \quad (24)$$

در این روابط V_j^+ مقدار ایده آل مثبت شاخص j ، V_j^- مقدار ایدهآل منفی شاخص j و d_i^+ و d_i^- به ترتیب مقادیر فاصله از ایدهآل مثبت و منفی برای گزینه i ام می باشند. مقادیر بدست آمده برای فاصله های گزینه ها از ایدهآل های مثبت و منفی در جدول (۲۶) آمده است.

جدول شماره (۲۶): مقادیر فاصله گزینه ها از ایدهآل های مثبت و منفی

فاصله از ایدهآل منفی	فاصله از ایدهآل مثبت			
۰/۰۲	d1-	۰/۰۱	d1+	NSGA2
۰/۰۱	d2-	۰/۰۲	d2+	MOPSO

گام ۶: تعیین نزدیکی نسبی نسبت به ایدهآل مثبت

در گام آخر با استفاده از رابطه (۶-۴) نزدیکی نسبی گزینه ها (الگوریتم ها) به پاسخ ایدهآل مثبت محاسبه می گردد. هر گزینه که مقادیر نزدیکی بیشتری به ایدهآل مثبت داشته باشد به عنوان گزینه برتر انتخاب خواهد شد.

$$CL_i = \frac{d_i^-}{d_i^- + d_i^+} \quad (25)$$

مقادیر نزدیکی گزینه ها به ایدهآل مثبت محاسبه و در جدول (۲۷) نمایش داده شده است. بر اساس خروجی بدست آمده از روش ترکیبی تحلیل سلسله مراتبی - تاپسیس مشاهده می گردد که الگوریتم NSGA-II در مقایسه با الگوریتم MOPSO کارایی بهتری داشته است.

جدول شماره (۲۷): مقادیر فاصله گزینه ها از ایدهآل های مثبت و منفی و رتبه گزینه ها

گزینه ها	فاصله از ایدهآل مثبت	رتبه
۱	۰/۶۵	NSGA2
۲	۰/۳۵	MOPSO

یکی از سرشاخه های مطرح در حوزه های تحقیقاتی و کاربردی مدیریت صنایع و تولید، مبحث زمان بندی صحیح و مناسب عملیات مختلف است، که همواره به عنوان یک مسئله مهم فرا روی برنامه ریزان قرار دارد. از دیدگاه عملی، بهبود برنامه ریزی پروژه جزئی از علم مدیریت پروژه است و ممکن است به میزان چشمگیر به افزایش سود سازمان ها منجر شود. در تمام پروژه های اجرایی که با محدودیت منابع انسانی متخصص یا ماشین آلات روبه رو هستند، مسئله زمان بندی پروژه با محدودیت منابع کاربرد دارد. امروزه صنایع از یک سو با مشتریانی سروکار دارند که به علت فضای رقابتی شدید، راضی نگه داشتن آنان کار بسیار دشواری است و از طرف دیگر با تأمین کنندگانی سروکار دارند که کیفیت مواد و قطعات دریافتی از آنان با رضایتمندی مشتریان ارتباط مستقیم و تنگاتنگی دارد. بنابراین سازمان ها چاره ای جز این ندارند که اقدامات خود را با مشتریان و تأمین کنندگان خود هماهنگ و یکپارچه سازند. مطالعات صورت گرفته حاکی از این است که، اتخاذ راهبرد سرمایه گذاری در زمینه بهبود عملکرد زیست محیطی زنجیره تأمین منجر به صرفه جویی در هزینه، مصرف انرژی و منابع، کاهش آلینده ها، حذف یا کاهش ضایعات، ایجاد ارزش برای مشتریان و افزایش بهرهوری برای شرکت ها خواهد شد. زمان بندی تولید به عنوان یکی از جنبه های مهم از مباحث برنامه ریزی تولید، به چالشی پیچیده و حائز اهمیت در حوزه زمان بندی و تخصیص منابع تبدیل شده و همواره مسائل آن مورد توجه محققان قرار دارد. مسئله زمان و زمان بندی در زندگی روزمره افراد نقش اساسی دارد، تا جایی که بسیاری افراد به دنبال کاهش زمان در فعالیت های روزمره خود هستند. با توجه غیر قابل بازگشت بودن این عنصر ناشناخته، زمان در هر صورت حائز اهمیت می باشد. از این رو روش ها و الگوریتم های مختلفی جهت این مسائل در سیستم های تولید کارگاهی و

غیر کارگاهی وجود دارد. در پژوهش حاضر مسئله زمان بندی تولید کارگاهی با کمک الگوریتم فرالبتکاری مورد بررسی قرار گرفت. ضمن حل این دسته مسائل به تحلیل و بررسی آن پرداخته شد. مسئله زمان بندی تولید کارگاهی یکی از مشهورترین و پیچیده‌ترین مسائل زمان بندی است؛ که در آن می‌باشد n کار روی m ماشین با حفظ توالی و نظم مشخصی انجام پذیرد. هر کار در این محیط از عمل‌های مختلفی تشکیل شده و مسیر پردازش آن‌ها بر روی ماشین‌ها از قبل مشخص است، لذا بین عملیات مربوط به یک کار روابط پیش‌نیازی وجود دارد. در حقیقت هر کار، جهت تکمیل نیازمند عبور از تمامی ماشین‌ها طبق نظم و قاعده‌ی مشخصی می‌باشد. کنکاش در مباحث نظری حاکی از این است که، روش‌های فرا ابتکاری در حل مسائلی که با حجم زیادی از متغیرها و محدودیت‌ها رو به رو می‌باشد، توانایی بالایی دارد. استفاده از این روش‌ها برای حل مسائل دارای اندازه‌ی بزرگتر به لحاظ محدودیت‌های مدل، زمان پردازش، حجم حافظه اشغال شده و خطأ به صرفه‌تر است. به طوری که بر مبنای خصوصیات مسئله همواره حداقل سازی تابع هدف که معمولاً از نوع زمان و هزینه است، مدنظر می‌باشد. در این تحقیق دو الگوریتم فرالبتکاری چنددهدفه الگوریتم ژنتیک رتبه‌بندی نامغلوب و الگوریتم تکاملی چنددهدفه بھینه‌سازی ازدحام ذرات که تاکنون در مسائل زمان بندی متعدد و متنوعی به کار گرفته شده است برای حل مدل پیشنهادی توسعه داده شد. تعداد ۳۰ مسئله با ابعاد مختلف و براساس شیوه‌های رایج در پیشینه تحقیق تولید و ارائه گردید و الگوریتم‌های پیشنهادی با تکرارهای مختلف مورد ارزیابی قرار گرفتند. از سه معیار مقایسه MS, MID و SNS در کنار معیار زمان حل برای مقایسات الگوریتم‌ها بهره گرفته شد. با توجه به اینکه هیچ کدام از دو الگوریتم در تمامی معیارهای ارزیابی بر دیگری برتری نداشت به منظور تحلیل و مقایسه خروجی‌ها از تکنیک ترکیبی دو روش تحلیل سلسله مرتبی و تاپسیس بهره گرفته شد. خروجی حاصل از این روش، برتری عملکرد الگوریتم ژنتیک رتبه‌بندی نامغلوب نسبت به الگوریتم تکاملی چنددهدفه بھینه‌سازی ازدحام ذرات برای این مسائل را نشان داد.

به منظور واقعی‌تر کردن مسئله، می‌توان مفروضات جدیدی پیرامون پارامترهای عملکردی در مدل در نظر گرفت. از جمله تحقیقات و مفروضات جدیدی که به محققین آتی پیشنهاد می‌گردد، عبارتند از:

- ۱- توسعه مدل و حل مسئله با در نظر گرفتن جزئیاتی نظیر برنامه زمان بندی حمل و نقل کالای تولیدی
- ۲- توسعه مدل در حالت چند ایستگاهی به صورت جریان کارگاهی
- ۳- در نظر گرفتن محدودیت‌های فرایندی نظیر خرایی ماشین‌آلات، تعمیرات و نگهداری آن‌ها
- ۴- در نظر گرفتن زمان آماده‌سازی وابسته به توالی
- ۵- در نظر گرفتن تقاضای فازی

معمولًا در تحقیقاتی که در زمرة رشته‌های علوم انسانی قرار می‌گیرد، همیشه محدودیت‌هایی وجود دارد. در برخی موارد پژوهشگران طی تحقیقات خود با محدودیت‌هایی مواجه بوده، که بخشی از آن‌ها حتی در ابتدای کار خود را نشان می‌دهند. برخی از محدودیت‌های تحقیق حاضر به شرح ذیل هستند:

- ۱- جمع‌آوری داده‌های لازم از جامعه آماری
- ۲- بررسی و درک فعالیت‌های انسانی
- ۳- کمبود منابع پیرامون مسئله زمان بندی سبز
- ۴- همکاری محدود برخی از افراد در مصاحبه

۴- منابع

1. Alam Tabriz, A, Modarressi, M and Arab, A. (2017). Study and analysis of sustainable supply chain management risks based on FSWARA method, 2nd International Conference on Industrial Management, Babolsar, Mazandaran University.
2. Ali Nejad, AS; Shahriari, Z; Seyed Rahmati, H.; Simiari, K. (2015). Dynamic multi-facility location in a supply chain in fuzzy conditions. *Industrial Management Studies*, 12(35), 151-178.

3. Azar A, Hashemi M. (2016). Providing A Method To Assess the Assaluyeh Petrochemical Plants Green Supply Chain Performance By Using a Combination of Fuzzy Method and Nonlinear Modeling. *QEER*, 12 (48), 173-194.
4. Azimi Fard, A., Mousavi Rad, Sa. and AriaFard, Sh. (2017). Prioritization of Sustainable Green Supply Chain Criteria in Steel Industry, 4th International Conference on Environmental Planning and Management, Tehran, Faculty of Environment, University of Tehran.
5. Beheshtinia, M.A., Akbari, E.(2015). Rescheduling Of Three-Stage Supply Chain with a Focus on Integration of the Stages. *Journal of Industrial Engineering Research in Production Systems (Jierps)* 3 (6), 191-205.
6. Cabral, I., Espadinha-Cruz, P., & Grilo, A. (2011). Decision-making Models for Interoperable Lean, Agile, Resilient and Green supply chains. Proceedings of the International Symposium on the Analytic Hierarchy Process.
7. Chen, J. (2009). Performance Evaluation of Green Supply Chain Based on Entropy Weight Grey System Model. *IEE*, 474-478.
8. Cheng, C. B., Cheng, C. J. (2011). Available-to-promise based bidding decision by fuzzy mathematical programming and genetic algorithm. *Computers & Industrial Engineering*, 61(4), 993-1002.
9. Diabat, A., Abdallah, T., Al-Refaie A., Svetinovic, D & Govindan K. (2013). Strategic closed-loop facility location problem with carbon market trading. *IEEE Transactions on Engineering Management*, 60 (2), 398-408.
10. Etrazian, F., Kharazian Akhavan, M. and Barati, M. (2016). Investigating Technological Barriers in Implementing Green Supply Chain Management in Iran's Oil Refining Industries (Case Study: Isfahan Oil Refining Industry). *First National Conference on Strategic Services Management*, Islamic Azad University, Najafabad Branch, Isfahan (Najafabad).
11. Fattahi, Parviz; Samouei, Parvaneh & Zandiye, Mostafa. (2017). A Multi-objective Simulated Annealing for Simultaneous Two-Sided Assembly Line Balancing and Operators Assignment. *Production and Operational Management*, 14 (15), 1-20.
12. Ghasemi Sahebi, Hani & Zanjirchi, Seyyed Mahmoud. (2013). Measuring Supply Chain Agility Using Fuzzy Rule Base and Fuzzy Agility Index in the Electronics Industry (Case Study: Pishraneh Company, Sari, Iran). *Journal of Industrial Management Studies*, 11, (30), 57-76.
13. Ghayebloo, S., and Tarokh, M. (2015). Designing an integrated direct and reverse supply chain network compatible with the environment. *Specialized Journal of Industrial Engineering*, No. 1, 93-106.
14. Ghomi-Avili, M., Tavakkoli-Moghaddam, R., Jalali, G., & Jabbarzadeh, A. (2017). A network design model for a resilient closed-loop supply chain with lateral transshipment. *International Journal of Engineering-Transactions C: Aspects*, 30(3), 374-383.
15. Ghorbanpoor, A., Pooya, A., Nazemi S., & Naji Azimi, Z. (2017).The Design Structural Model Of Green Supply Chain Management Practices To Using Fuzzy Interpretive Structural Modeling Approach. *Journal of Operational Research and Its Applications (Journal of Applied Mathematics)*, 13 (4 (51)),1-20.
16. Hahn, G.J & Kuhn, H. (2012). Value-based performance and risk management in supply chains-A robust optimization approach. *Int. J. Production Economics*, 139, 135–144.
17. Hassani, H., Danesh, M. A., Javan, A., Pospiech, R., & Odulaja, A. (2017). A statisticsbased approach for crude oil supply risk assessment. *OPEC Energy Review*, 41(3), 187-200.

18. Ismailpour, R., Azar, A. and Malekzadeh, M. (2017). Presenting an integrated model of green business partner selection and green supply chain management. *Second International Conference on Industrial Management*, Babolsar, Mazandaran University.
19. Jamali, G., Karimi Asl, E. (2018). Competitive positioning for LARG Supply Chain in Cement Industry and its Strategic Requirements Importance-Performance Analysis. *Industrial Management Studies*, 16(50), 53-77. doi: 10.22054/jims.2018.9106.
20. Kailun HE, H. X. (2010). The Application of Probabilistic Neural Network Model in the Green Supply Chain Performance Evaluation for Pig Industry. *International Conference on E-Business and E-Government*, 3310-3313.
21. Mansouri, S.A., Aktas, E & Besikci, U. (2015). Green scheduling of a two-machine flowshop: Trade-off between makespan and energy consumption. *European Journal of Operational Research*, 1-17.
22. Lee C.H., Liao, C.J., Chung, T.P., (2014). Scheduling with multiattribute setup times on two identical parallel machines. *International Journal of Production Economics*, 153, 130-138.
23. Mansouri, S. A., Aktas, E., & Besikci, U. (2016). Green scheduling of a two-machine flowshop: Trade-off between makespan and energy consumption. *European Journal of Operational Research*, 248(3), 772-788.
24. Manzini, R., Accorsi, Ch.Pini, S.Penazzi. (2015). On the design of closed-loop networks for product life cycle management: Economic, environmental and geography considerations. *Journal of Transport Geography* 48, 121-134
25. Mocquillon, C. d., Lente, C., et al. (2011). An efficient heuristic for medium-term planning in shampoo production. *International Journal of Production Economics*, 129(1), 178-185.
26. Nilipour Tabatabai, A., Khayamian, B., Karbasian, M. and Shariati, M. (2013). Optimizing the Application of Information Technology in Supply Chain Management and Marketing of Aviation Products by AHP Method. *New Marketing Research*, 2 (2), 52-47.
27. Norol, Holcomb. (2016). Development of a measure to assess quality management in certified firms. *European journal of operational research*, 156, 683-697.
28. Olfat, Laya; Khatami Firouzabadi, Ali & Khodaverdi, Roohollah. (2012). Green Supply Chain Management within Iranian Automobile Industry. *Iranian Journal of Management Sciences*, 6 (21), 123 - 140.
29. Qile, H., Ghobadian, A., Gallear, D. 2013. Knowledge acquisition in supply chain partnerships. The role of power. *Int. J. Production Economics*, 141, 605–618.
30. Rezaee Kelidbari, H., Goudarzvand Chegini, M., Alavi Foumani, S. (2014). The Impact of Supply Chain Management on Improving the Performance of Automotive Parts Industry through Competitive Advantage. *Journal of Business Management*, 6(1), 67-88. doi: 10.22059/jbm.2014.51605.
31. Shah Bandarzadeh, H., Jamali, Gh and Hashemi, M. (2014). Application of fuzzy network analysis process with nonlinear modeling approach in identifying and ranking the indicators affecting the evaluation of green supply chain performance of industrial companies in the country, 9th Management Conference, Sharif University of Technology, Tehran.
32. Taghizadeh, H., Mohammad pour Shattery, M. (2009). Analyzing the Reasons for Not Using the Value Analysis and Lean Approach (case study). *The Journal of Productivity Management*, 3, 2 (9), 77-101.
33. Verghese, K., & Lewis, H. (2007). Environmental innovation in industrial packaging a supply chain approach. *International Journal of Production Research*, 45, 4381-4401.

34. Vinodh, S., Anesh Ramiya, R & Gautham, S.G. (2011). Application of fuzzy Analytic network Process for supplier selection in a manufacturing organization, Expert Systems with Applications, 38, 272-280.
35. Wu, G.C., Ding, J.H., & Chen, P.S. (2012). The effects if GSCM drivers and institutional pressures GSCM practices in Taiwan's textile and apparel industry. International Journal Production Economics, 135, 618-636.

Designing a Green Workshop Model, By Balancing Between Completion Time and Energy Consumption (Case Study: Western Machine Building Corporation)

Maryam Rahimi Alooghareh

M.S in Industrial Management, Production and Operations Management, Amin Higher Education Institute, Fooladshahr, Isfahan, Iran.

Sayyed Mohammad Reza Davoodi (Corresponding Author)

Assistant Professor of Management, Dehghan Branch, Islamic Azad University, Dehghan, Iran.
Email:smrdavoodi@ut.ac.ir

Abstract

Today, environmental management, with its emphasis on environmental protection, has become one of the most important issues for governments, and global pressures have forced organizations to produce environmentally friendly products and services. This challenge has led to the creation of a new concept called green supply chain management in the field of business, which has been considered by governments and environmental institutions. The mathematical model used in this research is complex integer programming and the research method is descriptive-analytical and applied according to the purpose. The ultimate goal of implementing this model is to minimize the cycle time of the last job on the last machine, minimize the total delay and speed of work and total energy consumption per unit of production. The required data were collected through the information available in Padideh Gharb Machinery Company and structured interviews by quantitative analysis method and then implemented in MATLAB software. Thirty problems with different dimensions and based on common production methods were evaluated with multi-objective meta-heuristic algorithm (NSGA-II) and multi-objective particle swarm optimization algorithm (MOPSO). Three comparison criteria of MID, MS and SNS along with the solution time criterion were used to compare the different states of the algorithms. Consideration of sustainability considerations in the issue of production and manufacturing scheduling by minimizing energy consumption as a criterion in workshop planning has been considered in this research. In addition to the economic benefits, this helps the environment by reducing carbon emissions. The results of comparing the two algorithms using the two methods of hierarchical analysis and TOPSIS showed that the output of the NSGA-II algorithm compared to the MOPSO algorithm has a better performance for these problems.

Keywords: Green scheduling, Supply chain, Production, Energy, Sustainability.